

НАУЧНО-ТЕХНИЧЕСКИЙ
И ПРОИЗВОДСТВЕННЫЙ
ЖУРНАЛ

БЕТОН И ЖЕЛЕЗОБЕТ

5 (530)

Октябрь

Издаётся с апреля 1955 г.

Учредители:
НИИЖБ, ВНИИжелезобетон

СОДЕРЖАНИЕ

БЕТОНЫ

ЗВЕЗДОВ А.И., ТАМОВ М.Ч. Применение энергоэффективного
заполнителя в бетонах

ФИЛИКМАН В.Р., СОРОКИН Ю.В., КАЛАШНИКОВ О.О. Строительно-
технические свойства особо высокопрочных быстротвердеющих
бетонов

КУБАНЕЙШВИЛИ А.С., ПИРАДОВ А.Б., ЮРЯТИН А.М. Физико-
механические свойства бетона, твердеющего под давлением
в замкнутом пространстве

ИЗОТОВ Ю.Л., ИЗОТОВА Т.Ю. К вопросу о деформативности бетона
ЛУКУТЦОВА Н.П. О содержании естественных радионуклидов
в бетоне

АРМАТУРА

ТИХОНОВ И.Н., МЕШКОВ В.З., СУДАКОВ Г.Н. Эффективная
стержневая арматура для железобетонных конструкций

В ПОМОЩЬ ПРОЕКТИРОВЩИКУ

ТУРУКАЛОВ Б.Ф., ТАИНГ Б. К вопросу о расчете стержневых
железобетонных элементов с учетом полных диаграмм
деформирования материалов

ИВАНОВ А. Особенности расчета колонн многоэтажных монолитных
зданий с учетом продольного изгиба

ИНФОРМАЦИЯ

II-я Всероссийская конференция по бетону и железобетону

БЕТОНЫ

А.И.ЗВЕЗДОВ, д-р техн. наук (НИИЖБ); М.Ч.ТАМОВ, канд. техн. наук (ООО «Черкесский керамзитовый завод»)

Применение энергоэффективного заполнителя в бетонах

Получение высококачественного керамзитового гравия путем формирования малодефектной ячеистой структуры в процессе механической и термической обработки глины связано с более эффективным использованием её потенциальных возможностей на основе углубленного представления о механизме его производства.

Экспериментальные данные о влиянии минерало-химического состава, температурно-временных и других технологических факторов на физико-технические показатели керамзитового гравия [1-2] позволили произвести оптимизацию технологического процесса производства, включающую:

увеличение пластической прочности гранул за счет дополнительной гомогенизации;

повышение качества опудривания со расхода опудривающего материала благодаря новому способа опудривания;

повышение эффективности утилизацииящих горячих газов из печи путем их использования для обогрева бункера накопителя гранул и новой конструкции термоподготовителя;

разработку нового способа получения из обжиговой печи для его реализации [3-4],ующаяся в предварительной тепловой подгото-

Таблица 1

Строительно-технические свойства керамзитового гравия

Свойства	Фракция, мм		ГОСТ 9757
	5-10	10-20	
Средняя насыпная плотность, кг/м ³	350	250	350/250
Истинная плотность, г/см ³	2,35	2,34	—
Объем межзерновых пустот, %	37,2	39,7	—
Пористость зерен, %	73,1	82,3	—
Содержание расколотых зерен в гравии, не более, %	4,36	5,23	10
Коэффициент формы зерен, не более, %	1,67	1,8	2,5
Прочность в цилиндре, МПа	1,72	0,8	0,6-1,2
Влажность, %	9,2	9,2	22
Водопоглощение за 1 ч, %	18	22	25
Морозостойкость (потеря массы после 15 циклов попаременного замораживания и оттаивания):			
при опудривании пылью с электрофильтров	1,6	8	
цементных заводов			
при опудривании пылью —	7,9	8	

Составы и свойства теплоизоляционного керамзитобетона

Наименование	Марка кера	
	15	2
Керамзитовый гравий фр. 10-20 мм:		
насыпная плотность, кг/м ³	245	2
прочность, МПа	1	
Расход материалов на 1 м ³ бетона, кг:		
керамзитовый гравий	295	2
цемент М400	100	1
вода	50	0
С=3, %	0,2	0
Плотность, кг/м ³ :		
бетонной смеси	445	5
высушенного бетона	398	4
Прочность керамзитобетона, МПа	2,4	3
Фактическая марка	25	3
Коэффициент теплопроводности в сухом состоянии, Вт/м °C	0,089	0

Таблица 3

**Составы и физико-технические свойства
конструкционно-теплоизоляционного керамзитобетона**

Наименование	Марка керамзитобетона		
	50	75	100
Керамзитовый гравий			
фр. 10–20 мм:			
насыпная плотность, кг/м ³	300	300	350
прочность, МПа	1,35	1,35	1,75
Керамзитовый песок			
фр. 0–2,5 мм:			
насыпная плотность, кг/м ³	385	385	385
прочность, МПа	2,25	2,25	3,0
Расход материалов на 1 м³ бетона, кг:			
керамзитовый гравий	300	300	340
керамзитовый песок	150	150	170
цемент М400	200	220	250
вода	145	180	200
C-3, %	0,2	0,2	0,25
Плотность, кг/м³:			
бетонной смеси	790	850	955
высшенного бетона	695	725	810
Прочность керамзитобетона, МПа	5,7	8,0	11,2
Фактическая марка	50	75	100
Коэффициент теплопроводности в сухом состоянии, Вт/м °C	0,115	0,133	0,142
Расчетный коэффициент теплопроводности по условиям эксплуатации, Вт/м °C:			
A	0,13	0,15	0,16
B	0,15	0,17	0,18

Состав и свойства конструкционного керамзита на плотном и пористом песках

Наименование	Марка керамзита	
	150	200
Керамзитовый гравий		
фр. 10–20 мм:		
насыпная плотность, кг/м ³	380	380
прочность, МПа	18,7	18,7
Керамзитовый песок		
фр. 0–2,5 мм:		
насыпная плотность, кг/м ³	460	460
Прочность, МПа	23,2	23,2
Расход материалов на 1 м³ бетона, кг:		
керамзитовый гравий	140	140
керамзитовый песок	220	220
песок речной	120	120
цемент М400	296	296
вода	180	180
C-3, %	1,0	1,0
O.K., см	11	11
Плотность, кг/м³:		
бетонной смеси	1320	1320
высшенного бетона	1160	1160
V/C	0,61	0,61
Прочность керамзитобетона, МПа:		
после ТВО	111	111
7 сут. ест. тв. в н.у.	102	102
28 сут. ест. тв. в н.у.	152	152
Коэффициент теплопроводности в сухом состоянии, Вт/м °C	0,285	0,285
Расчетный коэффициент теплопроводности по условиям эксплуатации, Вт/м °C:		
A	0,34	0,34
B	0,38	0,38

Таблица 5

Состав высокопрочного керамзитобетона на плотном песке

Наименование	Марка керамзитобетона	
	500	

Керамзитовый гравий фр. 2,5–10 мм:	
насыпная плотность, кг/м ³	485
прочность, МПа	31,5
Расход материалов на 1 м³ бетона, кг:	
керамзитовый гравий	425
МК	50
песок речной	145
цемент М400	510
вода	230
C-3, %	1
O.K., см	16
Плотность, кг/м³:	
бетонной смеси	1368
высшенного бетона	1180
V/C	0,45
Прочность керамзитобетона, МПа:	
1 сут. ест. тв. в н.у.	162
2 сут. ест. тв. в н.у.	213
7 сут. ест. тв. в н.у.	318
28 сут. ест. тв. в н.у.	393

цовой гранулы, резком термическом ее вспышке последующим отжигом:

использование трехступенчатого охлаждения в лодильнике новой конструкции.

Внедрением перечисленных технических логических решений достигнуто снижение расхода цемента до 60 кг/м³ и электроэнергии до 15 кВт·ч/м³ керамзитового гравия, т.е. повышена энергоэффективность производства.

Основные строительно-технические свойства гоэффективного керамзитового гравия приведены в табл. 1.

Прочность керамзитового гравия повышается с увеличением его насыпной плотности (рис. 1).

Коэффициент теплопроводности керамзитового гравия



Рис. 1. Зависимость прочности керамзитового гравия от его насыпной плотности ($Y = 0,4292 + 0,193X + 0,0278X^2$, $R = 0,97$)

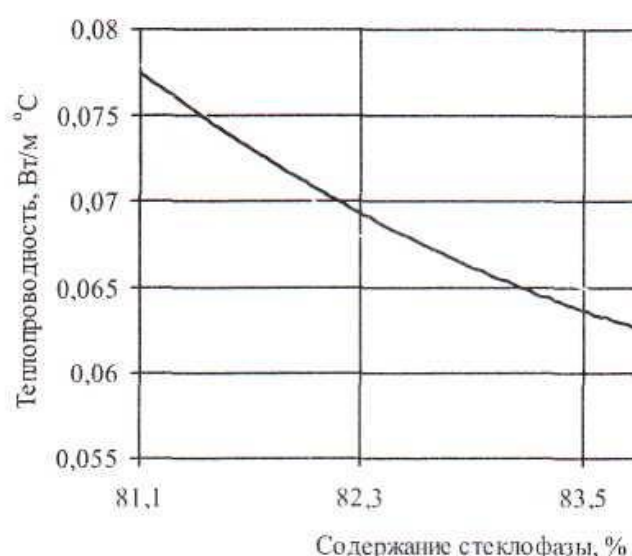


Рис. 2. Зависимость теплопроводности от со-
лофазы ($Y = 3,104 - 6,82 \cdot 10^{-2}X + 3,81 \cdot 10^{-4}X^2$, $R = 0,99$)

бор составов теплоизоляционных, конструкционно-теплоизоляционных и конструкционных бетонов, определены их основные физико-технические свойства (табл. 2-5).

Эффективный пористокерамический заполнитель Черкесского керамзитового завода используется в строительстве на юге России.

Микроскопическими исследованиями с увеличением в 10-70 раз изучена контактная зона скола конструкционного керамзитобетона М400 на границе цементно- песчаной матрицы и зерна керамзита. При этом установлено, что при оптимальном водоцементном отношении ($B/C=0,45$) и предварительно увлажненном заполнителе контактная зона достаточно плотная, без дефектов и микротрещин.

Библиографический список

1. Тамов М.Ч. Органические и минеральные производстве пористых заполнителей и пористокераментов. Материалы научно-практической конференции ученых и специалистов в области бетона и строительных материалов. Тезисы докладов. – М. – 1998. – С. 64-67.
2. Тамов М.Ч. Моделирование кинетики влагоудерживания пористой керамики// Строительные материалы. – 2002. – № 1. – С. 26.
3. Тамов М.Ч. Патент РФ на изобретение Наплавляемая печь для обжига керамзита. – Б.И. – 2003. – № 22.
4. Тамов М.Ч. Патент РФ на изобретение Новый способ получения керамзита. – Б.И. – 2003. – № 23.

В АНО «Секция «Строительство» Российской инженерной академии» можно приобрести книгу:

«Системные подходы к определению цен и управление стоимостью в строительстве». Справочное пособие с методиками и примерами расчетов. Авторы: академик РИА и МАИЭС, д.т.н., проф. Резниченко В.С. и инженер-экономист Ленинцев Н.Н.

В книге изложены:

- ◆ проблемы ценообразования в строительном комплексе Российской Федерации;
- ◆ организационно-экономические направления снижения стоимости строительства;
- ◆ зарубежный опыт ценообразования в строительстве;
- ◆ порядок разработки сметной документации в со-

- ◆ методики формирования смет с применением ресурсного, ресурсно-индексного и ресурсного методов;
- ◆ рекомендации по совершенствованию оценки стоимости материальных ресурсов;
- ◆ рекомендации по совершенствованию оценки стоимости эксплуатации строительных материалов;
- ◆ рекомендации по совершенствованию оценки оплаты труда рабочих;
- ◆ рекомендации по оценке затрат на выполнение работ заказчиком;
- ◆ программные комплексы по оценке стоимости строительства.

В.Р.ФИЛИКМАН, чл.-корр. РИА, Ю.В.Сорокин, канд. техн.наук, О.О.КАЛАШНИКОВ, инж. (НИИЖБ)

Строительно-технические свойства особо высокопрочных быстротвердеющих бетонов

Сформулированная в 80-90 гг. прошлого века концепция высококачественных бетонов (HPC) определила требования к бетонам, сочетающим оптимальные для конкретных условий эксплуатации показатели физико-механических свойств и долговечности, в том числе к бетонам с повышенными прочностными характеристиками (100 МПа и более), разработка которых стала одним из основных достижений строительного материаловедения на рубеже третьего тысячелетия [1, 2].

В рамках реализации этой концепции разработаны составы, технология изготовления и применения высокопрочных быстротвердеющих бетонов [3], предусматривающая использование композиционных вяжущих, получаемых по технологии "внутреннего помола" ("intergrinding" — IG) и "внутреннего смещивания" ("interblending" — IB) на основе алютитовых высокоалюминиатных портландцементов (содержание C_3S — 55-66%, C_3A — 12-15%, суммарное содержание C_3A+C_4AF — 15-20%). В качестве минеральных добавок в составе вяжущих использовались такие тонкодисперсные компоненты, как микрокремнезем и метакаолин. Полученные вяжущие характеризовались активностью 80-100 МПа и более при ранней (1-3 сут естественного твердения) прочности на уровне 50-70 МПа. Их применение в высокоподвижных бетонных смесях обеспечило получение тяжелых и мелкозернистых бетонов прочностью 70-140 МПа (в зависимости от состава) и с высокими темпами твердения.

Вместе с тем, применение высокоалюминиатных цементов, повышенное содержание тонкодисперсных компонентов (включая цемент-

могут не вызывать опасений относительно их физико-механических свойств, деформативности и долговечности.

Для практической оценки рисков, связанных с этими обстоятельствами, проведены исследования по изучению строительно-технических свойств особо высокопрочных быстротвердеющих бетонов, в том числе показателей их физико-механических свойств (призменной прочности, прочности на растяжение, начального модуля упругости) в сопоставлении с уровнем нормативных значений СНиП 2.03.01-84*. В качестве объектов исследований были выбраны бетоны с прочностью при сжатии не менее 50 МПа в возрасте 1 сут и не менее 80 МПа в возрасте 28 сут естественного твердения, приготовленные из бетонных смесей с подвижностью в пределах марок П4 — П5 по ГОСТ 7473-94. Так как принятое в мировой строительной практике понятие высококачественных бетонов обобщает весь комплекс строительно-технических свойств, включая долговечность, были также исследованы собственные деформации бетонов в условиях естественного твердения, характеристики их поровой структуры, морозостойкость и водонепроницаемость.

Эксперименты проводились на составах, принятых на основании ранее выполненных исследований, при различных видах и вариантах приготовления вяжущих, видах заполнителя, химических и тонкомолотых добавок, отражающих возможности технологии.

Методики проведения экспериментов соответствовали действующим стандартам, в том числе свойства бетонных смесей определяли

поглощение и показатели — по ГОСТ 12730.3-12740.4-78, водонепроницаемости вяжущих и цемента — по ГОСТ 310.1-76 ... ГОСТ 310.4-81 и ТУ 00369171-97 [4].

Условия приготовления вяжущих, включали механохимическую обработку компонентов, обеспечивающую снижение их водопотребности, связанные с чем и в соответствии сжившейся практикой для каждого вяжущего, получаемого по технологии "внутреннего помола". Пользовалась аббревиатура (вязущее низкой водопотребности) [5] с указанием процента помола клинкерного компонента, например, ВНВ-80, ВНВ-90, а для обозначения вяжущих, получаемых по технологии «внутреннего смещивания», — аббревиатура ККВ (комплексные композиционные вяжущие).

Приготовление ККВ вяжущих в тщательном механическом перемешивании (без повторного измельчения активированного) клинкерного цемента с тонкодисперсной добавкой — микрокремнеземом. Для ВНВ-композиций вяжущих «внутреннего смещивания» предусматривалась механохимическая активация клинкерного цемента и микрокремнезема. Наряду с составами композиционных вяжущих испытывались составы бетона на исходном портландцементе марки 600, в чистоклинкерном механизированном вяжущем (ВНВ-600), компенсации увеличения рабочести смеси на вяжущем

Составы бетонов для определения физико-механических свойств

№№ составов	Условия приготовления вяжущих	Вид вяжущего	Состав бетонной смеси, кг/м ³						Вид добавок
			Вяжущее	Микрокремнезем	Маршаллит	Песок	Щебень	Вода	
1	IG	BHB-100	621	—	—	680	1026	152	
2	IB	KKB-90		581 + 57	—	640	960	150	
3	IB	KKB-90		584 + 59	—	643	965	147	
4	IG	BHB-90 ¹		460+ 46	—	649	1309	144	
5	IG	BHB-90 ²		538 + 54	—	549	1279	152	
6	IB	PZ-600		570 + 58	—	628	942	173	
7	IB	PZ-600		449 + 135	193	1273 ³	—	219	
8	IB	PZ-600		456 + 139	196	1293 ³	—	172	
9	IG	BHB-100	518	—	—	1554	—	168	
10	IB	KKB-80		456 + 137	96	1292 ³	—	179	

Примечания: 1 — вяжущее «внутреннего помола» (IG) с ускоренным структурообразованием; 2 — то же, с замедленным строительством; 3 — песок крупный двухфракционный (30% фр. 0,315-1,25 мм, 70% фр. 2,5-5 мм)

нах с использованием в качестве заполнителя кварцевого песка с $M_k=2,63$, крупного двухфракционного песка и гранитного щебня фракции 5-10 мм.

Проведенные испытания показали (табл.1), что практически все разработанные составы бетонов удовлетворяют поставленным требованиям по прочности и темпам твердения. Для тяжелых бетонов на композиционных вяжущих (составы 1, 2, 3 и 4) значения прочности в возрасте 1 сут нормального твердения во всех случаях существенно превысили 50 МПа и составили 74-82,5 МПа, в возрасте 28 сут — 103-125,3 МПа. Для бетона на портландцементе марки 600 состав 6 в возрасте 1 сут обеспечил прочность на уровне 50,8 МПа, в возрасте 28 сут — 104 МПа. Заданному значению ранней прочности несколько уступает прочность бетона состава 5 на вяжущем «внутреннего помола» с замедленным структурообразованием, необходимым при растянутых сроках

тврдения. Действительно, для них характерна наибольшая плотность бетонных смесей, несмотря на близкую с остальными составами водопотребность, что может быть связано с более полным внедрением высокодисперсных частиц микрокремнезема в поверхностные поры и дефекты клинкерных зерен в процессе совместной механохимической активации. При этом прочность на уровне 77-90 МПа в возрасте 1-3 сут и 108-114 МПа в возрасте 7-28 сут обеспечивается при расходе вяжущего «внутреннего помола» (состав 4) около 500 кг/м³, считая суммарный расход клинкерного цемента и микрокремнезема, тогда как расход вяжущего в других составах с со-

поставимыми параметрами достигает 600 кг/м³. Кроме того, требуется введение суперпластификатора в затворении (состав 4).

Для мелкозернистых бетонов на исходном портландцементе марки 600 с добавкой суперпластификатора (составы 7 и 8, «внутренний помол») характерны невысокие значения прочности, которая для состава 8 превышает значение 50 МПа в возрасте 28 сут при использовании добавки в количестве 2% в возрасте 1 сут. Уменьшение добавки до 1,5% в возрасте 1 сут связано с повышением прочности бетона на 10-15% при использовании добавки в количестве 2% в возрасте 28 сут.

Свойства бетонных смесей, темпы твердения и прочность

Состав бетона по табл.1	ОК, см	Плотность бетонной смеси, кг/м ³	Воздухововлечение, %	Прочность при сжатии	
				1	2

дисперсного компонента, включая вяжущее и молотый кварцевый песок — маршаллит. Значения 28-суточной прочности превышают 90 МПа, а при использовании добавки Полиэл-2 практически достигают 100 МПа.

Для мелкозернистого бетона на композиционном вяжущем «внутреннего смешивания» (состав 10) при близком расходе материалов и характеристиках бетонной смеси в возрасте 1 и 28 сут обеспечивается прочность 59,5 и 103 МПа, соответственно. Заданное значение ранней прочности достигается и для бетона на чистоклинкерном механоактивированном вяжущем (состав 9), однако в этом случае 28-суточная прочность не превышает 75,5 МПа, что может быть связано с пониженным, по сравнению с другими мелкозернистыми бетонами, расходом вяжущего и отсутствием добавок микрокремнезема и суперпластификатора.

Таким образом, совокупность приведенных в табл. 1 данных свидетельствует о многообразии подходов к получению особо высокопрочных быстротвердеющих бетонов. В общем виде можно сделать вывод об определенных преимуществах, при прочих равных условиях, механоактивированных композиционных вяжущих «внутреннего помола» по отношению к композиционным вяжущим «внутреннего смешивания», а их, в свою очередь, по отношению к традиционным неактивированным цементам, даже при использовании последних в сочетании с микрокремнеземом в виде вяжущих «внутреннего смешивания».

Так как прочность большинства приведенных составов удовлетворяет заданным требованиям, были проведены испытания по определению комплекса физико-механических свойств всех бетонов и их со-поставление с нормативными показателями.

Данные, представленные на

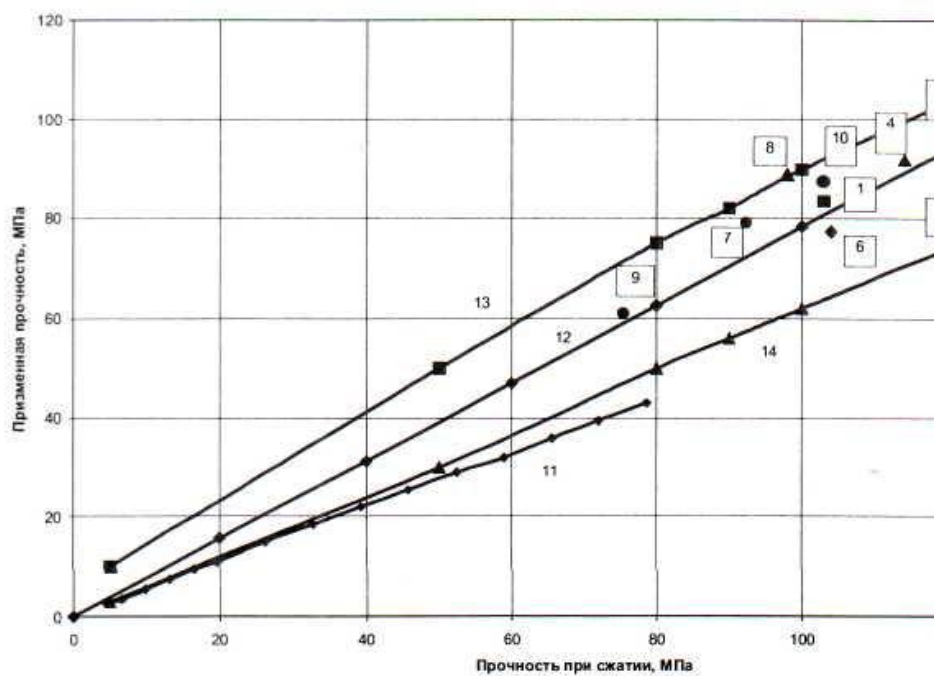


Рис.1. Нормативные и фактические значения призменной прочности от прочности при сжатии (кубиковой)
1–10 — экспериментальные значения; 11 — нормативные значения по 84; 12 — обобщенная зависимость [7]; 13, 14 — верхняя и нижняя границы разброса опытных данных [7].

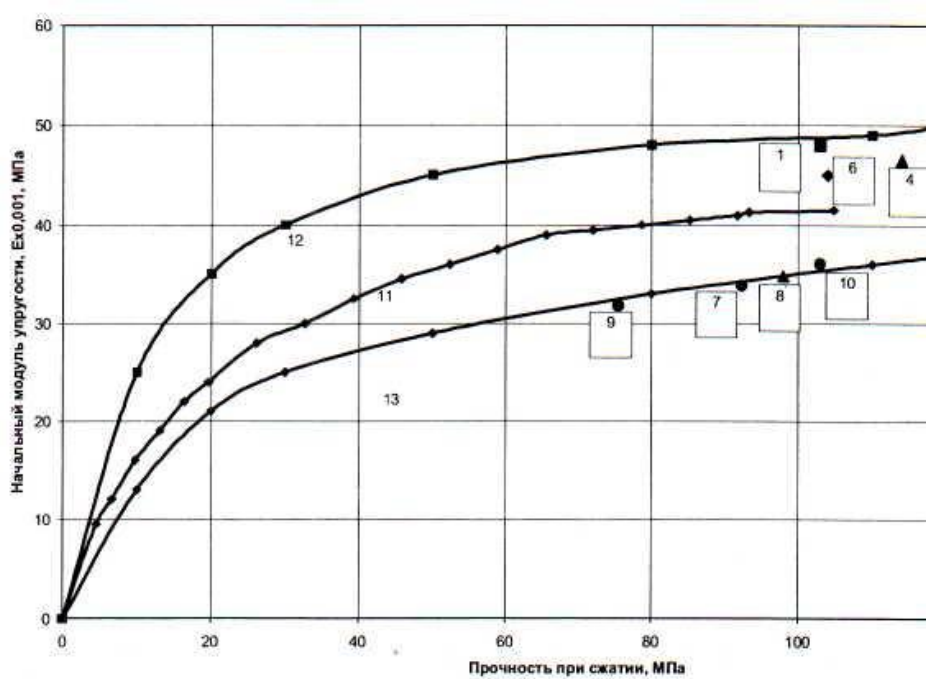


Рис.2. Начальный модуль упругости особо высокопрочных бетонов
1–10 — экспериментальные значения; 11 — нормативные значения для бетонов (СНиП 2.03.01-84*); 12, 13 — верхняя и нижняя граница разброса опытных данных [7].

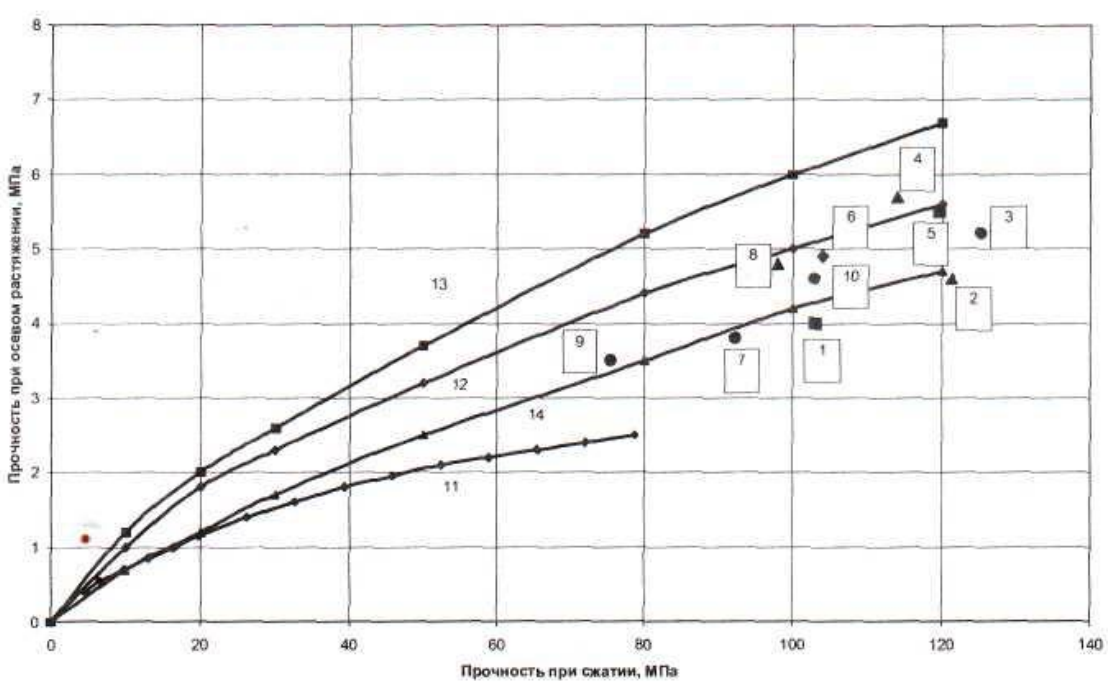


Рис.3. Нормативные и фактические значения прочности при осевом растяжении в зависимости от прочности при сжатии (кубиковой)

1–10 — экспериментальные значения; 11 — нормативные значения по СНиП 2.03.01-84; 12 — обобщенная зависимость [7]; 13, 14 — верхняя и нижняя граница разброса опытных данных [7]

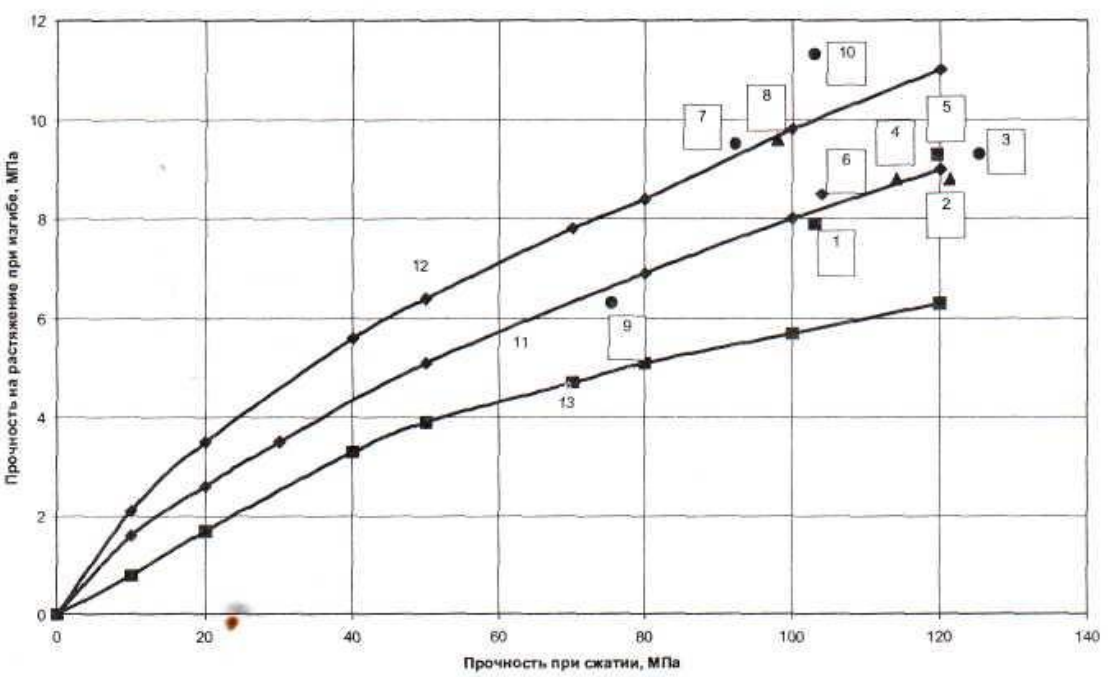


Рис.4. Экспериментальные значения и обобщенная зависимость прочности на растяжение при изгибе от кубиковой прочности

1–10 — экспериментальные значения; 11 — обобщенная зависимость [7]; 12, 13 — верхняя и нижняя граница разброса опытных данных [7]

28 сут характеризуется состав 6 на неактивированном портландцементе марки 600. В сопоставлении с ним усадочные деформации бетонов на

В строгом соответствии с величиной В/Вяж-отношения изменяются усадочные деформации мелко-зернистых бетонов. В возрасте до

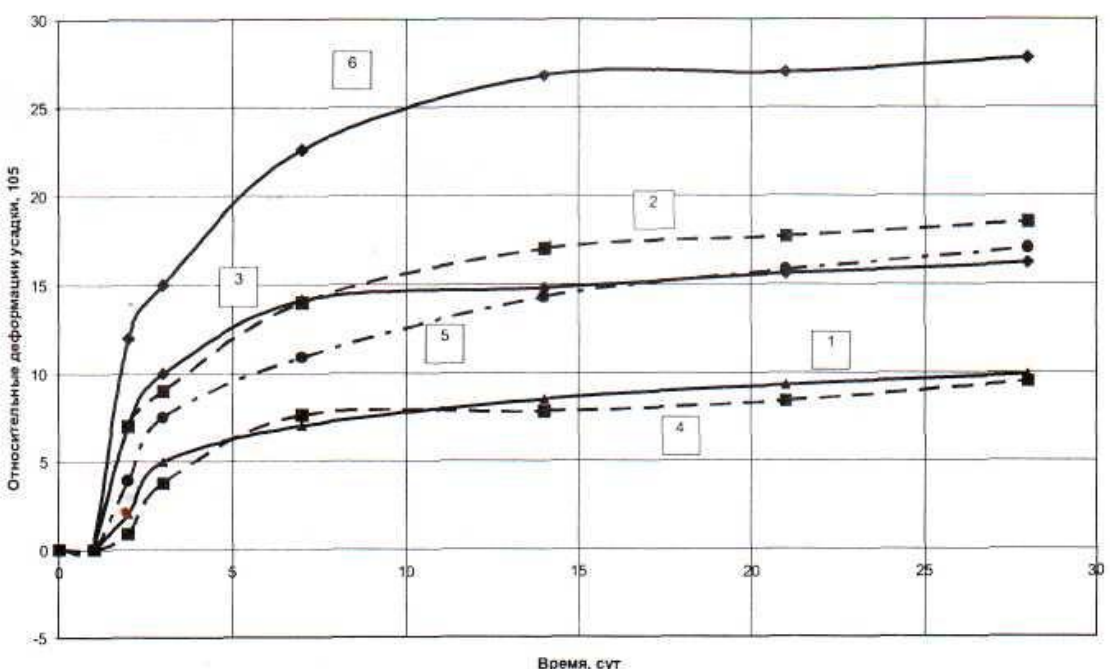
механоактивирован (составы 9 и 10) пони 30%, а наименьшие усадки проявляются фективной добавкой в товленного при наиминии В/Вяж-отношени

Проведенные испытывали высокие показатели — морозостойкости — проницаемости — разработанных составов копрочных бетонов. Данные в табл.3, полученные после соответствующих циклов поперечного рабощивания и оттаивания, коэффициента (К_{mpz}) — отношение подвергаемых испытаний образцов к прородильным образцам — случаев составляют нормативном значении свидетельствует об остатке долговечности морозостойкость которых в случаях определяется F600. Водонепроницаемость полученных бетонов марке W20 (значение относится к предельным возможностям используемого оборудования).

Показатели морозостойкости, водонепроницаемости и копрочных бетонов определены результатами определения поровой структуры, водопоглощения и методике [8], также приведены в табл.3. Действительные составы характеризуются структурой высокой и прочности с преобладанием его, а для бетонов на активированных композициях — мелкого размера зерен, в совокупности с повышением определяет и вечность бетонов различных составов.

Таким образом, испытания показали, что составы при разной технологии использования

а



б

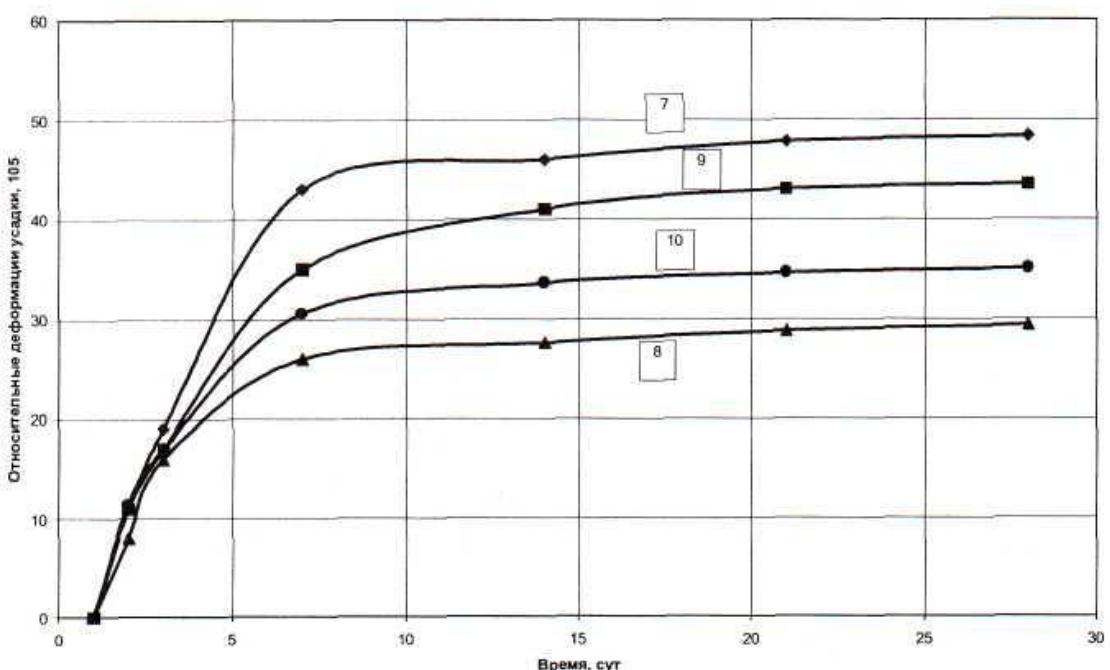


Рис.5. Относительные деформации усадки тяжелых (а) и мелкозернистых (б) особовоysокопрочных бетонов
1-10 — номера составов по табл.1-3

не 100-120 МПа. Показатели физико-механических свойств особовоysокопрочных быстротвердеющих бетонов соответствуют уровню нормативных значений для соответствующих классов по прочности, что дает возможность осуществлять проектирование конструкций на их основе с использованием традиционного расчетного аппарата, приме-

строительных конструкций и строительства сооружений, подвергающихся в процессе эксплуатации не только интенсивным механическим нагрузкам, но и агрессивным химическим и климатическим воздействиям.

С точки зрения обеспечения физико-механических и строительно-технических свойств бетонов при

емых по технологии «в помол». Анализ выполнена среднего энергопотребления обжига 1 т клинкера, равного 3000 МДж, и среднего расхода на помол 1 т вяжущих, равного 3000 МДж. При этом, в зависимости от составом и способом приготовления вяжущих, а также с учетом хода, меняется энергомоментной составляющей тонна. Действительно, на основе удельной энергоемкости (3000 МДж) характеризуется вяжущем «внутренней» прочностью. Для этого же состава, имеющего наибольший показатель удельной прочности (0,225 МПа/кг), соответственно, результирующий показатель – энергоемкость удельной прочности $(1,34 \times 10^4 \text{ МДж}/(\text{МПа}/\text{кг}))$ характеризует вяжущему показателю вяжущих внутреннего предела существенными различиями как по отношению к бетонам на чистом ККВ-100 и портландцементу.

Близкими показателями энергоемкости (на уровне 3000 МДж) характеризуются мелкозернистые бетоны, что обусловлено меньшей дозировкой микрокомпонент, причем эти бетоны обладают преимуществами по отношению на чистоклинкерные. С учетом наибольшего показателя прочности наилучшим растворителем является ККВ-80.

Библиографический

- Boyle, M.J. Concrete for granite cladding attains high strength // International Symposium on Performance Concrete, September 2000, Orlando, Florida, USA.

- Shah S.P., Murphy W. High Performance Concrete Permeability, and Shrinkage p.p. 331-339.

- Калашников О.О.,

Показатели морозостойкости, водонепроницаемости и характеристик поровой структуры особовысокопрочных бетонов (Т – тяжелые, М – мелкозернистые)

Условия приготовления вяжущих	Вид вяжущего	Вид бетона	Вид и дозировка добавки	В/Вяж	Прочность при сжатии, МПа	Показатели морозостойкости			Водонепроницаемость, марка	Показатели		
						Число циклов ПЗО	Коэффициент морозостойкости, К _{мрз}	Марка по морозостойкости		Водопоглощение W _{вп} , %	Водопоглощение W _{об.} , %	Птс с креплением
IG	BHB-100	T	-	0,245	103,0	600	0,98	>F 600	>W20	1,56	3,78	
IB	KKB-90	T	-	0,235	121,3	600	1,02	>F 600	>W20	1,16	2,69	
IB	KKB-90	T	C-3 0,4%	0,23	125,3	600	1,02	>F 600	>W20	1,42	3,31	
IG	BHB-90 ¹	T	-	0,285	114,0	600	1,18	>F 600	>W20	1,12	2,65	
IG	BHB-90 ²	T	-	0,26	119,6	600	1,14	>F 600	>W20	0,95	2,27	
IB	ПЦ-600	T	C-3 1%	0,28	104,0	600	1,10	>F 600	>W20	0,97	2,22	
IB	ПЦ-600	M	C-3 1,5%	0,38	92,3	600	1,06	>F 600	>W20	2,2	4,65	
IB	ПЦ-600	M	Полиэл-2 1,0%	0,29	98,0	600	1,03	>F 600	>W20	1,6	3,43	
IG	BHB-100	M	-	0,32	75,5	600	1,09	>F 600	>W20	1,48	3,17	
IB	KKB-80	M	C-3 0,9%	0,30	103,0	600	1,11	>F 600	>W20	1,39	3,0	

Примечания: 1 — вяжущее «внутреннего помола» (IG) с ускоренным структурообразованием; 2 — то же, с замедленным структурообразованием; 3 — песок крупный двухфракционный (30% фр. 0,315-1,25 мм, 70% фр. 2,5-5 мм)

низкой водопотребности. Технические условия.

5. Патент России № 2096364. Гидравлический цемент, Н.Ф.Башлыков, В.Р.Фаликман, В.Н.Сердюк и др., 1996, опубл. Бюл. № 32, 1997.

6. Вайнер А..Я., Башлыков Н.Ф., Фаликман В.Р., Сорокин Ю.В. и др. Высо-

коэффективные поликарбоксилатные суперпластификаторы на основе бинарных сополимеров оксиэтилированного аллилового спирта и малеиновой кислоты//Бетон на рубеже третьего тысячелетия. Материалы 1-й Всерос.конф. по проблемам бетона и железобетона. М., 2001. Кн.3, с. 1272-1281.

7. Берг О.Я., Щерко Г.Н. Высокопроч-

Стройиздат, 1971, 208

8. Шейкин А.Е., Бруссер М.И. Структурные бетонов. М., 343 с.

Бетон и железобетон в XXI веке

Подготовлена НИИЖБом и вышла из печати монография, посвященная современному состоянию и перспективам развития железобетона в строительстве.

Железобетон, 150-летие со дня изобретения которого отмечалось совсем недавно, стал в настоящее время строительным материалом номер один. По оценкам, в мире ежегодно применяется свыше 3 млрд. м³ бетона и железобетона.

В монографии, состоящей из 7 глав, на основе обобщения отечественного и зарубежного опыта отражены вопросы, связанные с изучением свойств бетонов на плот-

ций, показаны проблемы повышения долговечности железобетона и др. Приведены примеры новых типов железобетонных сооружений отечественной строительной практики. Каждая глава заканчивается оценкой перспектив развития того или иного направления.

В подготовке монографии общим руководителем принял участие все подразделения и научные сотрудники института.

В редакколлегию по подготовке монографии вошли директором НИИЖБ А.И.Зверевым

А.С.КУБАНЕЙШВИЛИ, А.Б.ПИРАДОВ, доктора техн.наук, профессора,
А.М.ЮРЯТИН, канд.техн.наук (Грузинский НИИ энергетики и энергетических сооруже-

Физико-механические свойства бетона, твердеющего под давлением в замкнутом пространстве

В практике строительства встречаются сооружения, где необходимо создать емкости высокого давления. Это резервуары различного назначения, напорные водоводы, защитные оболочки атомных станций и др. Такие конструкции могут быть решены в трехслойном варианте, где между внутренним и наружным слоями в замкнутое пространство под давлением нагнетается цементный раствор, создаю-

щих предварительное обжатие внутренней части емкости.

Подобная комбинированная конструкция была разработана в Грузинском НИИЭС и реализована при строительстве Ингурской ГЭС (Грузия) на участке напорного туннеля, а также в дальнейшем в процессе ремонтных работ. Эта конструкция состоит из внешнего монолитного бетона и внутреннего железоторкретного кольца. В зазор между ними нагнетается раствор на расширяющемся алюнитовом цементе, при твердении которого происходит предварительное обжатие железоторкретного кольца [1].

Образцы изготавливались путем засыпки в полость цилиндра обой-

мы щебня фракций 10...20 мм, следующим заполнением тестом.

На бетон, изготовленный из пластмассовых и железобетонных обоймах, давление передавалось с помощью пластмассовых, металлических и железобетонных цилиндров, характеристики которых приведены в табл. 1.

Таблица 1

Материал	Размер, мм			Модуль упругости, МПа
	толщина	внутренний диаметр	высота	
Пластмасса	3,0	100	400	3700
Металл	3,0	150	450	20950
Железобетон*	20,0	100	400	12400

Примечание: * арматура Ø4 мм, шаг навивки 20 мм

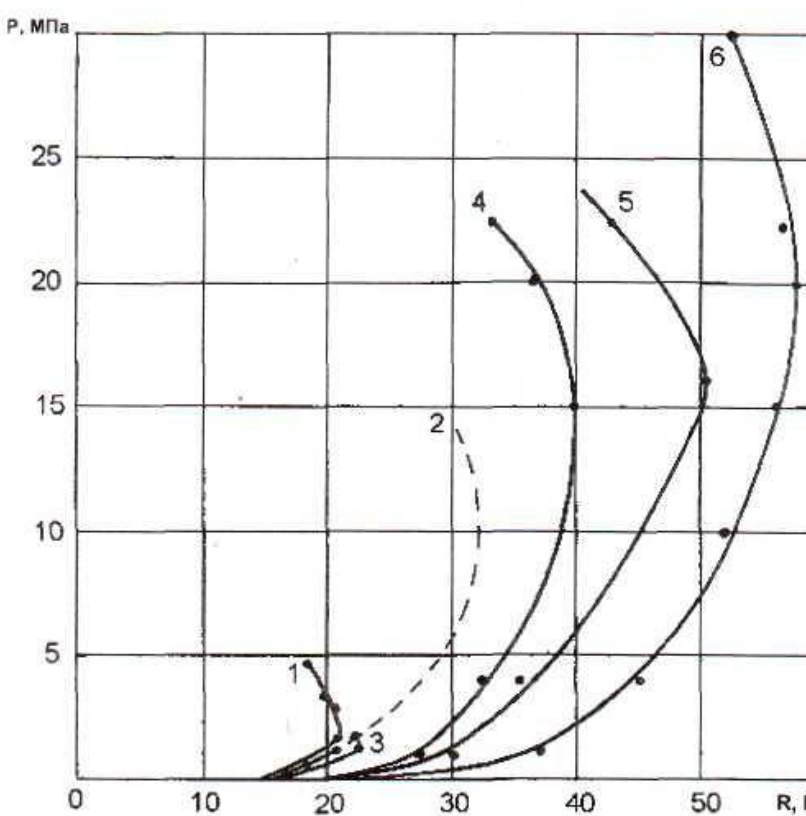
Непосредственно наложенный бетон усилие от передавалось через бетоны, предварительно имеющие в таких же пластмассах (трубах), в которыхлись образцы-цилиндры.

Для обеспечения максимальной герметичности

и предварительное обжатие внутренней части емкости.

Подобная комбинированная конструкция была разработана в Грузинском НИИЭС и реализована при строительстве Ингурской ГЭС (Грузия) на участке напорного туннеля, а также в дальнейшем в процессе ремонтных работ. Эта конструкция состоит из внешнего монолитного бетона и внутреннего железоторкретного кольца. В зазор между ними нагнетается раствор на расширяющемся алюнитовом цементе, при твердении которого происходит предварительное обжатие железоторкретного кольца [1].

В таких конструкциях особенно важным является качество бетона среднего слоя, так как от правиль-



бетонных обоях при передаче усилия на испытуемый бетон к обоям торцам обоймы изнутри приклеивались отрезки пластмассовых труб длиной 25 мм, вырезанных из тех же труб, в которых готовились пуансоны.

Образцы, изготовленные в пластмассовых и металлических обоях, в возрасте не менее 28 сут освобождались от обояй и испытывались на гидравлическом прессе. Образцы же, изготовленные в железобетонных обоях, испытывались вместе с обоймой, но нагрузка на образец передавалась через пуансоны.

Результаты испытания в виде графика представлены на рис. 1. Там же приведены данные, полученные в [2].

Как видно из графика, с увеличением давления наблюдается рост прочности бетона, но до определенного предела, после чего прочность понижается. По максимальным значениям полученных прочностей и соответствующих им давлениям с учетом жесткостей обояй построен график, приведенный на рис. 2. Приняв эту зависимость в виде экспоненты, получили формулу для определения предельного эффективного давления для конкретной обоймы

$$P = 20(1 - e^{-0.65EI}),$$

где P - давление, МПа; E - модуль упругости материала обоймы, МПа; I - момент инерции сечения обоймы, м^4 .

Ползучесть и усадку изучаемого бетона определяли на образцах в железобетонной обойме. Давление, передаваемое на бетон, составляло от 1,64 до 4,59 МПа. Деформации замерялись на базе 200 мм в средней части образца с двух противоположных сторон компаратором, снабженным индикатором часового типа с ценой деления 0,01 мм. Компараторы устанавливались между шариками, завальцованными на концах стержней, которые крепились к шпилькам.

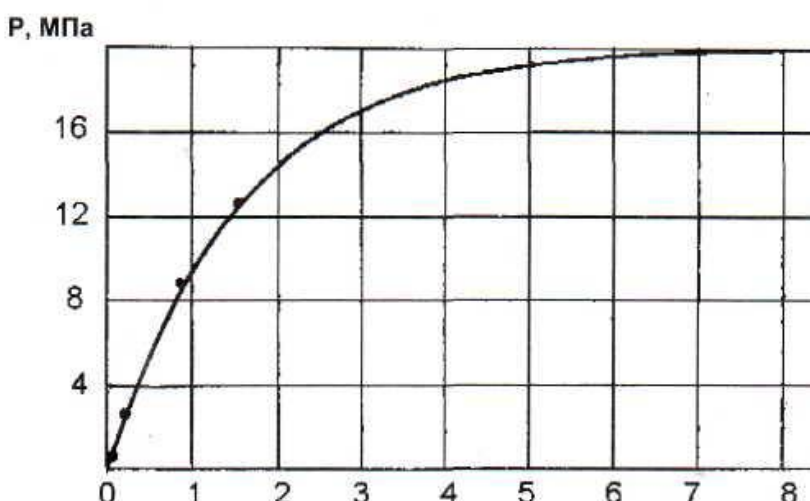
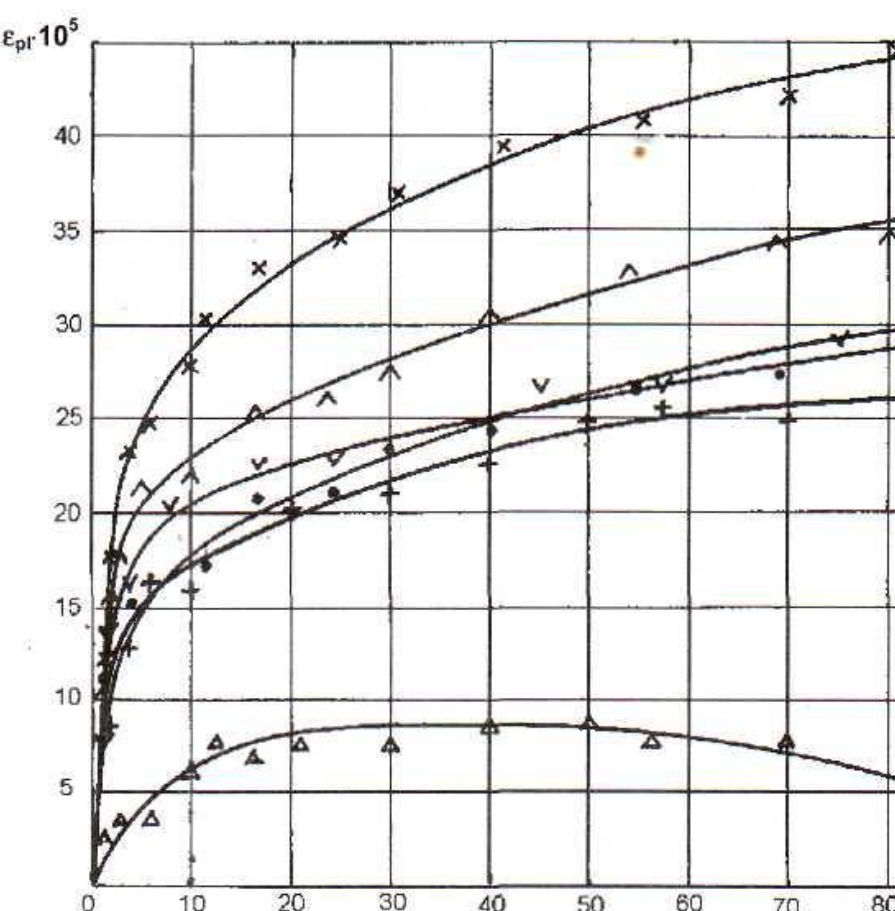
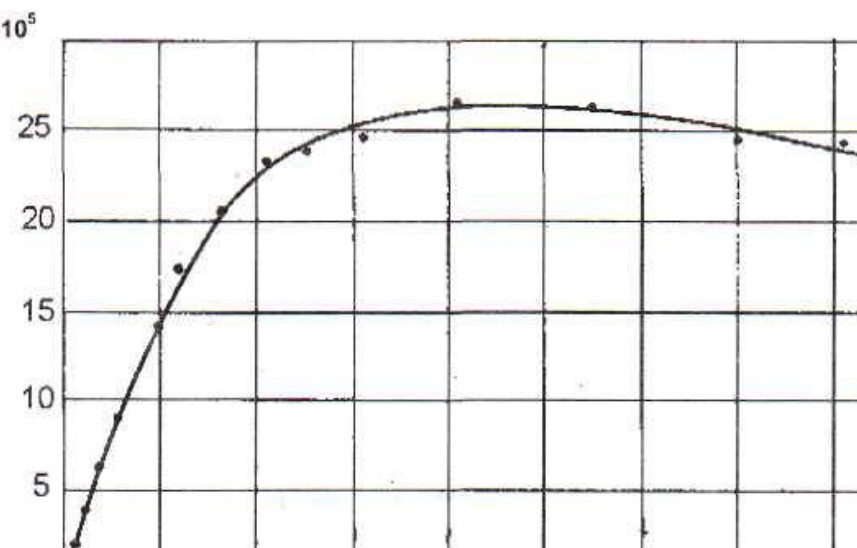


Рис. 2. Зависимость максимальной прочности бетона от жесткости обояй

а



б



№ образцов	Обжатие ти $\sigma_{обж}$, МПа	Упругая разгрузка, $\varepsilon_{уп} \cdot 10^5$	Сдвиг-ка гаек σ_b , МПа	E_b , МПа	$\varepsilon_{уп} \cdot E_b$, МПа	$\sigma_{обж} - \sigma_b$, МПа	$\sigma_{обж} - \varepsilon_{уп} \cdot E_b$, МПа	Посредни	
								МПа	
1	4,586	23	3,934	17200	3,956	0,654	0,630	0,642	
2	3,277	17,7	3,082	18000	3,186	0,195	0,097	0,146	
3	2,621	10,3	2,229	24000	2,459	0,392	0,162	0,277	
4	2,621	10,5	2,496	24000	2,486	0,196	0,125	0,036	
5	1,966	9,1	1,638	20600	1,872	0,328	0,094	0,211	
6	1,638	7,0	1,311	22500	1,575	0,327	0,065	0,196	

величины давления на поверхности обоймы фиксировались трещины различного раскрытия.

Аналогично, но без приложения внешней нагрузки, было изготовлено два образца для определения температурно-усадочных деформаций. Деформации ползучести определяли путем вычитания из полных деформаций температурно-усадочных, зафиксированных на незагруженных образцах. Полученные таким образом результаты отражены на рис.3.

Потери предварительного напряжения в бетоне определяли как по показанию манометра насосной станции при разгрузке образцов в момент ослабления фиксирующих

гаек пружинной установки, так и замером деформаций упругой разгрузки бетона. Разность напряжений при загрузке и разгрузке позволила судить о величине потерь.

Свежеуложенный нагруженный бетон уже через 30 мин имел прочность. Это видно из того, что разность деформаций, измеренных после 30-минутной выдержки и через 24 ч, по перемещениям пуансонов и на базе 200 мм почти совпадает. То, что бетоны при прессовании обладают "мгновенной" прочностью и эффективная величина прессования находится в пределах 1...5 МПа, известно из [2 и др.], что еще раз было подтверждено нашими опытами.

Полученные результаты потерь предварительного напряжения приведены

Как видно из табл. предварительного напряжения превышают 15% первоначального усилия, поэтому эта величина может быть рекомендована в табличном виде.

Библиографический список

1. Мостков В.М., Орлов П.Д. и др. Подземные и наземные сооружения. М.: Высшая школа, 1980.
2. Элбакидзе М.Г., Енукидзе Г.М. Прессование и вибропрессование теста, растворов и бетонов. Тбилисский ТНИСГЭИ им. А. Винтера. Тбилиси, 1971.

Новая книга о гидроизоляции сооружений

Шилин А.А., Зайцев М.В., Золотарев И.А., Ляпидевская О.Б. Гидроизоляция подземных и заглубленных сооружений при строительстве и ремонте. Учебн. пособие. – Изд-во «Русская торговая марка», 2003. – 398 с., 110 ил.

Настоящая книга является единственным в данной области учебным пособием, в котором вопросы гидроизоляции рассматриваются как комплексная проблема защиты подземных и заглубленных зданий и сооружений. Впервые осуществлен системный подход к гидроизоляции, основанный на решении задач по созданию гидроизоляционной мембранны, теплоизоляции, дренажа, вентиляции сооружений.

В книге изложены основы проектирования и создания системы гидроизоляционной защиты сооружений при их строительстве и ремонте, приводятся методики

решение различных технологических задач по гидроизоляции зданий и сооружений.

Уникальность книги состоит в том, что она на многолетних научных исследованиях сотрудников «Триады-Холдинг» и богатейшей практике крупных подземных сооружений различного назначения (более 1000!). Таким образом, наше пособие представляет собой законченный фундаментальный труд, в котором соединены теоретические и практические аспекты защиты сооружений от воды и влаги с их практическим решением.

Представляемая книга (под редакцией доктора технических наук, профессора кафедры «Строительство подземных сооружений и шахт» Московского государственного горного университета (МГГУ), генерального директора ЗАО «Триада-Холдинг» А.А. Шилына) предназначена для инженеров, архитекторов, строителей, специалистов по гидроизоляции, студентов и аспирантов вузов, а также для широкого круга читателей, интересующихся вопросами гидроизоляции сооружений.

Ю.Л.ИЗОТОВ, канд. техн. наук, Т.Ю.ИЗОТОВА, инж. (Днепропетровский НИИСП)

К вопросу о деформативности бетона

Бетон представляет собой упрого-пластичный материал. При одноразовом загружении бетонного образца кратковременной нагрузкой в нем, помимо упругих, развиваются также пластические деформации.

$$\varepsilon_B = \varepsilon_c + \varepsilon_{p1} \quad (1)$$

По проведенным исследованиям (см. таблицу) построены графики зависимости "уровень напряжений в бетоне (η) – деформации (ε_B) – коэффициент упругости (v)".

$\eta = \frac{\sigma_b}{R_{hn}}$	$\varepsilon_B \cdot 10^{-4}$	$E_B \text{ МПа, } 10^2$	v	λ
0,384	6,3	158	0,607	0,393
0,585	12	127	0,488	0,512
0,77	20	100	0,385	0,615

Бетон тяжелый, $R_{bn} = 26 \text{ МПа}$, В20, $E_B = 2,6 \cdot 10^4 \text{ МПа}$. Результаты опытов показывают, что v и λ зависят не только от уровня напряжения в бетоне, но также и от его класса по прочности на сжатие.

В СНиП 2.03.01-84 приводятся значения коэффициента полноты эпюры напряжений сжатой зоны поперечного сечения изгибающего элемента при расчетных напряжениях в зависимости от класса прочности на сжатие (ω), значение модуля упругости бетона (E_B) при $\eta = 0,3$, а значение коэффициента упругости бетона (v) приводится независимо от его класса по прочности при действии нормативных нагрузок, т.е. при напряжениях меньше расчетных.

В практике проектирования и эксплуатации железобетонных конструкций имеют место случаи, когда действующие нагрузки меньше или больше нормативных, и перечисленные выше характеристики не могут быть использованы.

В теории бетона и железобетона отмечается, что эпюра сжимающих напряжений для изгибаемых и внецентренно сжатых элементов – криволинейная, однако математическая зависимость криволинейной эпюры для каждого класса бетона от уровня его напряжения отсутствует. Это также можно отметить и по характеристикам v и E_B . В настоящей статье приводятся результаты экспериментально-теоретических исследований,

в бетоне и, в частности

$$v = 0,335 (\eta - 0,04)^{-0,55}$$

$$\lambda = 1 - v = 1 - 0,335 (\eta - 0,04)^{-0,55}$$

и значение модуля упругопластичности

$$E_B^1 = E_B v$$

Выше отмечалось, что в бетоне, как упругопластичном, имеет место нелинейность между деформациями и уровнем напряжения, т.е.

$$\varepsilon_B = k_1 \eta^n,$$

тогда как упругие деформации бетона имеют линейную зависимость, т.е.

$$\varepsilon_1 = k_2 \eta$$

Коэффициент упругости бетона предполагается постоянным, а отношение упругих деформаций к полным деформациям бетона

$$v = \frac{a_c}{a_b} = \frac{K_2}{K_1} \eta^{1-1,55} = 0,335 \cdot 10^3 \eta^{-0,55}$$

При известной зависимости (2) значение коэффициента v (8), имеет вид

$$v = \frac{1}{3 \cdot 10^{-3}} \eta^{1-1,55} = 0,335 \cdot 10^3 \eta^{-0,55}$$

т.е. имеем результат, полученный на основе математической обработки опытных данных, который подтверждает достоверность исследования.

При криволинейной эпюре сжимающей силы равнодействующая записывается следующим образом:

$$N_b = \omega R_b b x_{kp}$$

Используя интегральное исчисление

Отношение $\frac{n}{1+n}$ является коэффициентом полноты площадки, ограниченной кривой и осью координат, но и $\omega = \frac{n}{1+n}$

$$\text{Тогда } n = \frac{\omega}{1-\omega} \quad (11)$$

Выражая степень функций (2) и (3) через ω , можно записать

$$\varepsilon_B = 3,1 \cdot 10^{-3} (\eta - 0,04)^{\frac{\omega}{1-\omega}} \quad (12)$$

$$v = 0,335(\eta - 0,04)^{\frac{1-2\omega}{1-\omega}} \quad (13)$$

$$\lambda = 1 - v = 1 - 0,335(\eta - 0,04)^{\frac{1-2\omega}{1-\omega}} \quad (14)$$

$$\text{и } E_B^1 = E_B v \quad (15)$$

По результатам проведенных кафедрой железобетонных конструкций ДИСИ исследований получены зависимости, определяющие изменения относительных деформаций и коэффициент упругости высокопрочного бетона В70

$$\varepsilon_B = 1,83 \eta^{1,0885} \quad (16)$$

$$v = 0,818^{-0,0885} \quad (17)$$

$$\lambda = 1 - v = 1 - \eta^{0,0885} \quad (18)$$

Выражая степень кривых через коэффициент полноты эпюры сжатой зоны поперечного сечения элемента для этого бетона, соответственно имеем

$$\varepsilon_B = 1,83 \eta^{\frac{\omega}{1-\omega}} \quad (19)$$

$$v = 0,818 \eta^{\frac{1-2\omega}{1-\omega}} \quad (20)$$

В проведенных исследованиях воздействие нагрузки было кратковременное, т.е. при загружении опытных образцов происходили деформации быстронатекающей ползучести.

В формулах (12, 13) и (19, 20) находятся множители, которые подходят соответственно для бетонов В20 и В70. Для бетонов любого класса прочности на сжатие значение ε_B и v предлагается вычислять по формулам

В опытах, проведенных на бетонных конструкциях с использованием высокопрочного цемента в (21) составил $K_1 = 0,6 + 0,0175B$

$$K_1 = \frac{1}{K_4} = \frac{1}{0,6 + 0,0175B}.$$

По результатам проведенных исследований можно отметить, что при определении параметров конструкции следует определять также его деформативную характеристику, позволяющую учитывать ее при расчете железобетонных конструкций по деформациям.

Коэффициент полноты эпюры сжимаемых конструкций после прохождения кратковременного состояния для бетона любого класса по прочности определяется зависимостью

$$\omega_{sh} = 0,6428 - 0,00174B$$

В практике проектирования зачастую необходимо знать напряженно-деформированное состояние конструкции при $\eta = 0,77$. В этой связи значение ω_{sh} определяется в зависимости от η по формуле

$$\omega_{sh} = 0,45 + 0,0006B + \eta(0,25 - 0,003B)$$

При расчете железобетонных элементов конструкции по жесткости, т.е. при действии на элементы статической нагрузки, значение коэффициента принимать по зависимости

$$\eta = 0,77 \frac{q_n + p_B}{q + p}$$

В СНиП 2.03.01-84 значение ω дается для различных напряжений в бетоне с учетом длительности бетона (коэф. $\varphi_{B2} = 2$, табл. 34).

При определении характеристик по (21) в расчете длительной ползучести бетона в числителе знаменатель (22) следует подставить значение η (табл. 34), а значение ω принимать согласно (27).

При $K = 0,8$

$$\omega_1 = 0,483 + (0,408 - 0,00572B)\eta$$

При $K = 0,85$

$$\omega_1 = 0,483 + (0,465 - 0,0053B)\eta$$

Значение модуля упругости бетона в СНиП 2.03.01-84 дается для всех классов бетона на сжатие $E = 0,3$. Выполненные по (20) вычисления по

Н.П. ЛУКУТЦОВА, канд. техн. наук (Брянская государственная инженерно-техническая академия)

О содержании естественных радионуклидов в бетоне

Эффективная удельная активность природных радионуклидов ($A_{\text{эфф}}$) в бетоне в соответствии с ГОСТ 30108-94 определяется как суммарная удельная активность естественных радионуклидов (ЕРН) по формуле [1]:

$$A_{\text{эфф}} = A_{\text{Ra}} + 1,31 \cdot A_{\text{Th}} + 0,085 \cdot A_{\text{K}},$$

где A_{Ra} и A_{Th} – удельные активности ^{226}Ra и ^{232}Th , находящиеся в равновесии с остальными членами уранового и ториевого рядов, Бк/кг; A_{K} – удельная активность ^{40}K , Бк/кг.

Оценка и анализ естественных радионуклидов в компонентах и бетонах предприятий Брянска показали, что ЕРН варьируют в них в существенных пределах: от 17 до 447 Бк/кг при среднем значении 75 Бк/кг [2,3].

Учитывая, что в настоящее время в строительстве применяются различные виды бетона, а процесс создания новых интенсивно продолжается, выявление основных технологических факторов, определяющих и регулирующих радионуклидный состав бетона, является важной задачей по снижению дозы облучения человека.

Установлено, что эффективная удельная активность бетонов подчиняется правилу аддитивности, и при известных значениях $A_{\text{эфф}}$ отдельных компонентов и их содержании в бетоне может быть рассчитана по формуле [3, 4]:

$$A_{\text{эфф}} = \sum_{i=1}^n A_{\text{эфф}i} \cdot q_i =$$

где $A_{\text{эфф}1}, A_{\text{эфф}2}, A_{\text{эфф}n}$ – эффективные удельные активности компонентов бетона, Бк/кг; q_1, q_2, q_n – массовые доли компонентов в бетоне, отн. единицы.

Сопоставление расчетных и экспериментальных значений удельных и эффективных удельных активностей ЕРН в тяжелом бетоне показало, что максимальное отклонение от расчетных значений имеет торий-232 – 0,85. Отношение расчетных и экспериментальных значений для радия-226 составляет 0,96, калия-40 – 1,03, эффективной удельной активности естественных радионуклидов – 0,99 (табл. 1).

У керамзитобетона получены большие отклонения при сопоставлении расчетных и экспериментальных значений удельной и эффективной удельной активности естественных радионуклидов по сравнению с тяжелым бетоном. Так, соотношение расчет / эксперимент керамзитобетона составляет для: радия-226 – 0,94, тория-232 – 1,1, калия-40 – 0,88, эффективной удельной активности – 0,95.

Для установления влияния условий твердения бетона на содержание ЕРН проводились исследования их радионуклидного состава при естественном твердении и пропаривании.

Естественное содержание радионуклидов керамзитозолона варьировалось при температуре относительной влажности 95-100%. Определение радионуклидного состава проводилось методом спектрометрического полупроводникового детектора типа ДГДК-80 в сцинтилляционной камере (табл. 2). Собственная радиоактивность керамзитобетона в диапазоне энергий от 0,1 до 100 кэВ составляла 5,8% от общего излучения, то есть разрешение сцинтилляционного детектора в 1 кэВ при $E_{\gamma} = 1,332 \text{ кэВ}$ составляет 0,96, что позволяет выделять радионуклиды с помощью спектрометрической идентификации на основе различий их активностей и соответствующих погрешностей.

Отбор и подготовка проб проводили в соответствии с ГОСТ Р ИСО 9000-2008. Пробу получали из отверстий в бетонных изделий диаметром менее 5 мм. Объем проб определялся в соответствии с нормой Маринелли состава бетона. Масса проб определялась в соответствии с нормой Маринелли. Герметично укупоренные пробные сосуды держались в течение 24 часов в темноте для достижения радиоактивного равновесия с дочерними продуктами.

Полученные результаты показали, что содержание радионуклидов в бетоне

Наименование	Содержание, %	Удельная активность, Бк/кг		
		^{226}Ra	^{232}Th	^{40}K
Портландцемент	18	27,5 ± 11	12,9 ± 7	172,5
ПЦ 400-ДО	25	22,7 ± 8	6,8 ± 2	245,0

Таблица 2

Время твердения, сут	Содержание радионуклидов, Бк/кг			
	Радий-226	Торий-232	Калий-40	$A_{\text{эфф}}$
1	65	8,4	380	108,3
3	61	9,4	365	104,3
7	60,5	9,6	408	107,8
14	46,8	7,7	388	89,9
21	59,7	8,1	390	103,5
28	60,2	8,8	409	106,5
Среднее значение, Бк/кг	57,6	8,5	390	103,4
Среднее квадратическое отклонение, S, Бк/кг	1,68	0,04	8,5	2,2
Нижняя доверительная граница, a_n , Бк/кг	55,3	8,42	379	10,1
Верхняя доверительная граница, a_b , Бк/кг	59,9	8,54	400,6	10,6
Коэффициент вариации, %	2,9	0,49	2,18	2,12

се твердения бетона не меняется. При этом среднее квадратическое отклонение содержания ЕРН для керамзитозолобетона в процессе твердения составило для $A_{\text{эфф}}$ - 2,2, ^{226}Ra - 1,68, ^{232}Th - 0,04 и ^{40}K - 8,5%; коэффициент вариации – 2,12, 2,9, 0,49, 2,18 % соответственно.

Влияние пропаривания на содержание естественных радионуклидов в бетонах изучалось на ОАО «Крупные панели» (г. Брянск) в цехе № 2, где тепловлажностную обработку осуществляют в щелевых камерах при температуре $85 \pm 5^\circ\text{C}$ по режиму 3,5+8+2,5 ч. Мониторинг естественных радионуклидов производства бетона в 22,5 лестничных площадок показал, что содержание ЕРН в сырьевых материалах и готовых изделиях в пределах погрешности совпадают.

Соотношение тяжелый бетон до пропаривания / тяжелый бетон после пропаривания составило: ^{226}Ra - 0,96, ^{232}Th - 1,01, ^{40}K - 1,05, $A_{\text{эфф}}$ - 1,01. Гранитный щебень в тяжелом бетоне приводит к увеличению вклада тория-232 в $A_{\text{эфф}}$, на долю которого приходится 40%. Вклад радия-226 в эффективную удельную активность ЕРН составляет 31%, калия-40 – 20%.

тивности радия-226, тория-232, калия-40 и $A_{\text{эфф}}$ в бетоне до пропаривания и после пропаривания, как и для тяжелого бетона, в пределах погрешности совпадают.

В керамзитобетоне радий-226, торий-232 и калий-40 вносят примерно одинаковый вклад в эффективную удельную активность – 33,6, 32,5 35,4% соответственно. Отклонения значений удельных активностей ^{226}Ra , ^{232}Th , ^{40}K и эффективной удельной активности $A_{\text{эфф}}$ керамзитобетона после пропаривания и до пропаривания связаны с варьированием естественных радионуклидов в сырье.

Для контроля ЕРН при производстве керамзитобетонных наружных стеновых панелей ПН-1 домов серии III-90 ОАО «Крупные панели» г. Брянска была разработана радиационно-технологическая карта. Она включает входной, операционный и выходной радиационный контроль. Входной контроль предусматривает определение ЕРН заполнителей, портландцемента и сопутствующих материалов и добавок.

Учитывая неоднородность и значительное варьирование естественных радионуклидов в сырье, возможна вариация содержания в нем отдель-

этапах производства железобетонных изделий, а также обнаружения высокой удельной активности. Тогда требуется внести корректировки в радиационный контроль, существующие после пропаривания, выдержки, выхода из пропарочной камеры и т.д. Работ. Приемочный радиационный контроль определяет эффективную удельную активность продукции и подтверждает ее достоверность.

Полученные результаты показывают, что эффективная удельная активность бетона не зависит от технологии производства и определяется радионуклидным соотношением компонентов смеси. Это позволяет регулировать содержание радионуклидов, а в случае необходимости – корректировать.

Радиационно-технологические карты позволяют проконтролировать не только получение экологически безопасных бетонов и цементных материалов, но и защитить рабочие места от природного облучения в производстве продукции специального назначения.

Библиографический список

- ГОСТ 30108-94. Материалы строительные. Определение эффективной активности естественных радионуклидов. - М., 1994.
- Лукутцова Н.П., Красильников Г.И. и др. Радиационная опасность строительных материалов и промышленных отходов // Атомистика. – Брянск, 2001.- т. 90.- вып. 4.- с. 10-13.
- Лукутцова Н.П. Строительные материалы в экологической безопасности. Брянск: Изд-во БГИТА, 2002.
- Лукутцова Н.П. Факторы, влияющие на содержание естественных радионуклидов в строительных материалах // Известия вузов, 2002.- № 10.

АРМАТУРА

И.Н.ТИХОНОВ, В.З.МЕШКОВ, Г.Н.СУДАКОВ, кандидаты техн. наук (НИИЖБ)

Эффективная стержневая арматура для железобетонных конструкций

Критериями эффективности стержневой арматуры, помимо экономических показателей, являются нормируемая прочность, способность к значительным пластическим деформациям перед разрывом стержня и надежное сцепление с бетоном.

Увеличение прочностных показателей арматурного проката позволяет снижать металлоемкость железобетона. Высокие характеристики пластичности арматуры дают возможность оптимального перераспределения усилий с наиболее нагруженных участков статически неопределеных железобетонных конструкций на менее нагруженные за счет образования пластических шарниров. Пластичность арматуры очень важна и для повышения энергоемкости деформирования строительных сооружений под действием нагрузок, вызванных чрезвычайными ситуациями (землетрясения, пожары, взрывы и т.п.), и, следовательно, для снижения риска прогрессирующего обрушения.

Сцепление арматуры с бетоном должно гарантировать надежное заанкеривание истыкование арматурных стержней внахлестку на достаточно коротких участках, удерживать в допустимых пределах раскрытие трещин и прогибы в стадии эксплуатации и в то же время обеспечивать контролируемую податливость участков конструкции, запроектированных как пластические шарниры.

Многочисленными отечественными и зарубежными исследованиями последних лет показано, что

ци распределенных требований, относящихся к первой и второй группам предельных состояний, при хороших экономических показателях.

Сегодня страны ЕЭС практически перешли на исключительное применение в обычном железобетоне арматурной стали со свойствами класса A500C, что позволило унифицировать производство арматурного проката и снизить металлоемкость железобетона в среднем на 10%.

Стержневая арматурная сталь в Европе производится с периодическим профилем согласно EN-10080-1 (1998), в котором серповидные поперечные ребра не имеют пересечений с продольными ребрами (рис. 1, а). По геометрическим характеристикам, имеющим первостепенное влияние на сцепление с бетоном, этот профиль в значительной мере отличается от периодического профиля по ГОСТ 5781 (рис. 1, б) с кольцевыми поперечными ребрами, с которым до 1990 г. производилась вся отечественная горячекатаная и термомеханически упрочненная арматура.

Позднее металлургические заводы стран СНГ, производящие арматурный прокат для железобетон-

ных конструкций, на освоение зарубежных технологий своей продукции, приятиями был освоен ката с профилем египетского разца по СТО АСЧ-1000, видным поперечным кольцом широкое распространение арматуры и в России. В результате пересмотра требований к стыкованию арматуры внахлестку, установленные положения СНиП 2.03.01-84, разработанные на основе многолетних исследований сцепления с бетоном, профилем по ГОСТ 5781, но отличаются от норм Европы.

Согласно европейским стандартам 1-1(April 2003), требование к длине анкеровки стержневой арматуры в пределах текущего периода текущего года превышают аналогичные требования по СНиП 2.03.01-84 на 50-60%, что, видимо, объясняется более копленным многолетним опытом применения арматуры с периодическим профилем в Западной Европе.

В проекте новых российских норм проектирования

а



б



Главной целью разработки было получение характеристик профилей, позволяющих оставлять в проектах требования действующих технических документов, установленные на данных идентичных конструкциях из арматуры с профилем и следовательно, исключать дополнительные расходы на проектирование и изготовление, связанных с переходом на новые профили и увеличением массы конструкций. Кроме того, предполагалось желательно, чтобы профиль с формой, позволяющей различать конструкции на стройплощадке.

При разработке нового профиля рассматривались следующие задачи:

обеспечить более высокую прочность в сравнению с европейским профилем при одинаковой прочности сцепления при эксплуатационных нагрузках;

увеличить прочность профилей при значительных сдвигах в сечениях, связанных с потерей прочности сцепления арматурного сечения относительно бетона, характеризующихся наличием зон пластических шарниров;

снизить отрицательное влияние усилий распора в зонах сцепления на эксплуатационные характеристики конструкций;

сделать форму профиля более привлекательной.

Как видно из рис. 1, в отличие от существующего профиля, новый профиль имеет форму, в которой вершины незамкнутых ребер расположены не в одной оси, а в двух взаимно перпендикулярных. Разведение вершин незамкнутых пар серповидных ребер на угол 90° по контуру сечения обеспечивает более равномерную упаковку зерен крупного щебня вокруг сердечника.

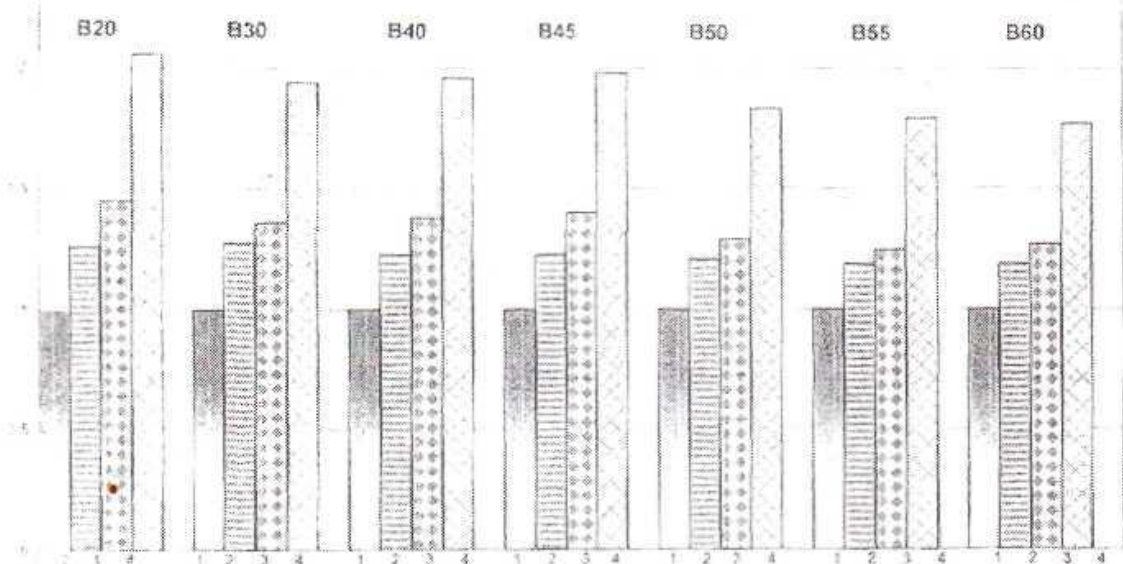
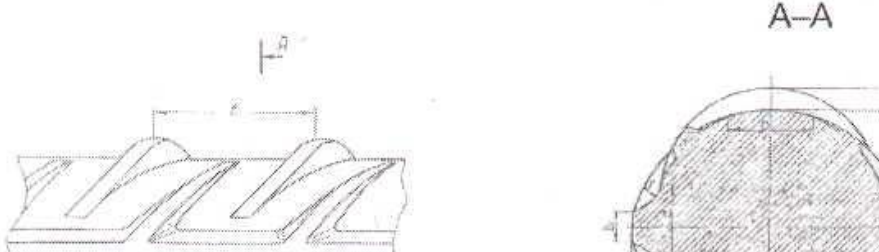


Рис. 2. Сравнение значений длины анкеровки l_{an}/d для растянутой арматуры класса A500C, вычисленных по СНиП 2.03-01-84(1), по проекту СНиП 52-01-03 (2) и по Евронормам EN 1992-1-1: минимальный (3) и максимальный (4)

тонных и железобетонных конструкций (СНиП 52-01-03) для ненапрягаемой арматуры с профилем по СТО АСЧМ 7-93 европейского типа предусмотрено увеличение длин анкеровки и нахлестки на 15–30% в зависимости от классов бетона и арматуры. В наибольшей мере это касается конструкций из бетона не высоких классов прочности с арматурой класса A500C. Сравнение значений относительной длины анкеровки l_{an}/d для растянутой арматуры класса A500C в растянутом бетоне, вычисленных по СНиП 2.03-01-84, по проекту СНиП 52-01-03 и по Евронормам EN 1992-1-1, приведено на рис. 2.

Анализ проектной документации, относящейся к монолитному домостроению, показывает, что для случая наиболее широко применяемых классов бетона B25-B30 и стержневой арматуры оптимальной девятиметровой мерной длины изменение длин нахлестки стержней согласно новым требованиям СНиП приведет к увеличению общего расхода растянутой арматуры класса A500C в среднем на 3,5%, а класса A400 на 2,5%. Еще более заметным

Нельзя не отметить еще одного негативного аспекта, связанного с тотальным переходом на профиль европейского образца, а именно, на невозможность визуально отличить стержни класса A500C от класса A400, который все еще составляет значительную долю поставок металлургических заводов СНГ. По этой причине и строители, и проектировщики зачастую отказываются от использования преимуществ применения высокоэффективной арматуры класса A500C, опасаясь пересортицы в арматурных цехах и на стройплощадках, и выбирают варианты армирования, ориентированные на класс A400.

Вышеизложенные обстоятельства явились основанием для разработки в НИИЖБе принципиально нового периодического профиля для арматурной стали класса A500C.

A-A

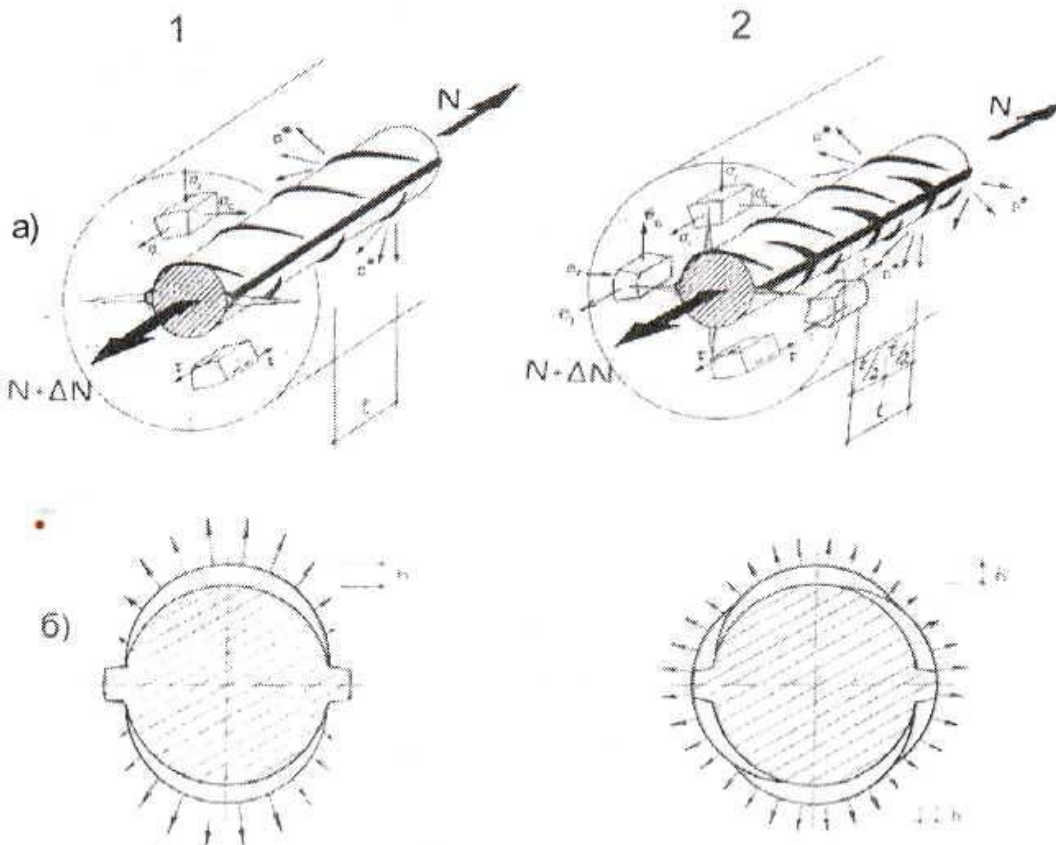


Рис. 4. Схема взаимодействия растянутого арматурного стержня с окружающим бетоном

1 — европейский профиль с серповидными ребрами; 2 — профиль нового типа;
а — усилия в бетоне в зоне передачи напряжений с арматуры на бетон; б — распределение усилий распора в поперечном сечении

придает распределению усилий распора более объемный характер, чем у профиля по СТО АСЧМ 7-93 с серповидными ребрами, вершины которых лежат в одной осевой плоскости. Это наглядно проиллюстрировано на рис. 4, где в схематическом виде изображена картина распределения усилий, передаваемых на окружающий бетон арматурным стержнем с европрофилем и с профилем нового типа.

Опытные партии арматуры диаметром 16 и 25 мм с периодическим профилем новой формы были прокатаны на Белорусском металлургическом заводе (РУП БМЗ) и исследованы в НИИЖБе.

Следует отметить, что при оценке анкеровки арматуры в бетоне необходимо учитывать целый ряд особенностей работы конструкции в целом, ее сечений и зон, условий работы арматуры в ней при различных сочетаниях внешних воздей-

ствий. Важно отметить, что преимущества того или иного вида арматурного профиля возможно только посредством сравнительных испытаний в условиях, максимально уравнивающих влияние прочих факторов. Именно этой цели служит методика испытаний на вытягивание из бетона арматурных стержней РС6 ЕКБ/ФИП/РИЛМ.

По этой методике были проведены испытания на вытягивание из

бетона серий стержней, которых характеризуются образцов с новым профилем, нивелируясь (при прочих равных условиях) с аналогичными стержнями с профилем нового типа по СТО АСЧМ 7-93 и профилем с ребрами по ГОСТ 5781 (табл. 1).

Критерий Рема ($\rho = F_{\text{см}} / (\pi \cdot d \cdot t)$, где d — номинальный диаметр арматуры, t — шаг поперечных ребер, $F_{\text{см}}$ — площадь проекции поперечного сечения, ρ — относительная кость, нормальную оси

где $d = 16$ мм, $t = 10$ мм, $F_{\text{см}} = 125,66 \text{ mm}^2$, $\rho = 0,0012566$

Образцы для испытаний представляли собой бетонные блоки размером 250x250x250 мм, имеющие одним центральным стержнем с двумя короткими (L=15 мм) и длинными (L=800 мм).

Длина зоны сцепления стержней диаметром 16 мм составляет 100 мм (6,25% от длины), диаметром 25 мм — 125 мм (5% от длины стержня). В зоне сцепления стержень неизменно нарушено срезом резиновой трубки, соединяющей стержень до бетонной смеси, и использовались двухслойные, в каждой из которых

Параметры периодического профиля стержней, используемые в испытаниях на вытягивание из бетона

Тип профиля	Ном. диаметр, мм	Высота ребра, мм	Шаг периода, мм	Характеристики
Новый	16	1,2	12,0	Площадь смятия на один шаг периода $F_{\text{см}} = 125,66 \text{ mm}^2$

нового профиля была одинаковой, за исключением начальных этапов нагружения, когда она была несколько ниже. Значения нагрузки для нового профилем были выше, чем у арматурой с серповидным профилем: на 20% для диаметра 16 мм и на 13% для 25 мм. В сравнении с предельной нагрузкой по ГОСТ 5781 предельная нагрузка была на 8% более высокой.

Результаты испытаний, представленные на рис. 5, демонстрируют преимущество в рабочем сцеплении стержней с новым профилем во всех сериях. Взаимное расположение кривых "нагружение - смещение" указывает на то, что новый диаметром как 16, так и 25 мм новый профиль обеспечивает большую прочность и жесткость сцепления. Тот факт, что раскальвание образцов со стержнями нового профиля происходит при нагрузке на 12-15% больше, чем со стержнями серповидного профиля (при равной высоте погружения), позволяет также сделать вывод о том, что новый профиль может работать как менее "жесткий", т.е. передающий на единицу бетона относительно меньшее усилие, нормальные к стержню.

Следует отметить, что в нагружении при одинаковых смещениях незагруженных торцов стержней с разными профилями

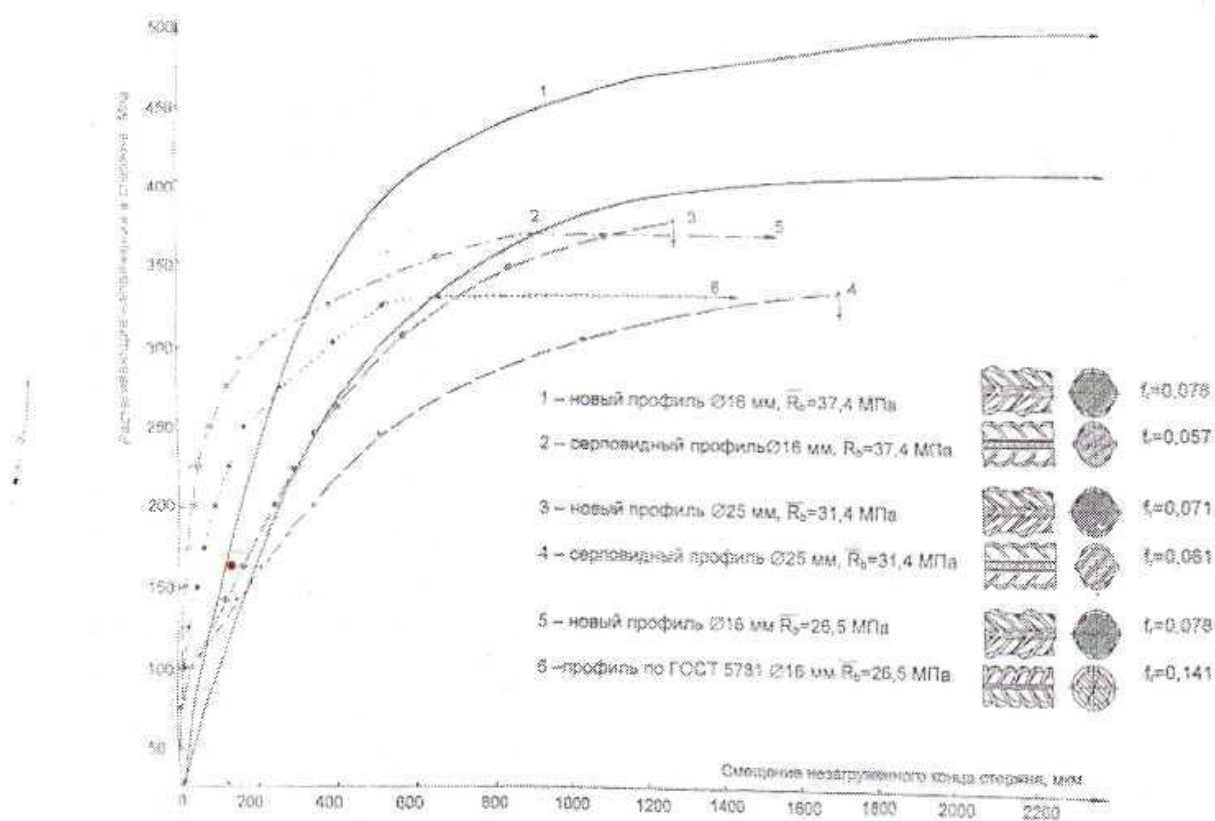


Рис. 5. Результаты испытаний на вытягивание из бетона арматурных стержней с различными типами периодического профиля

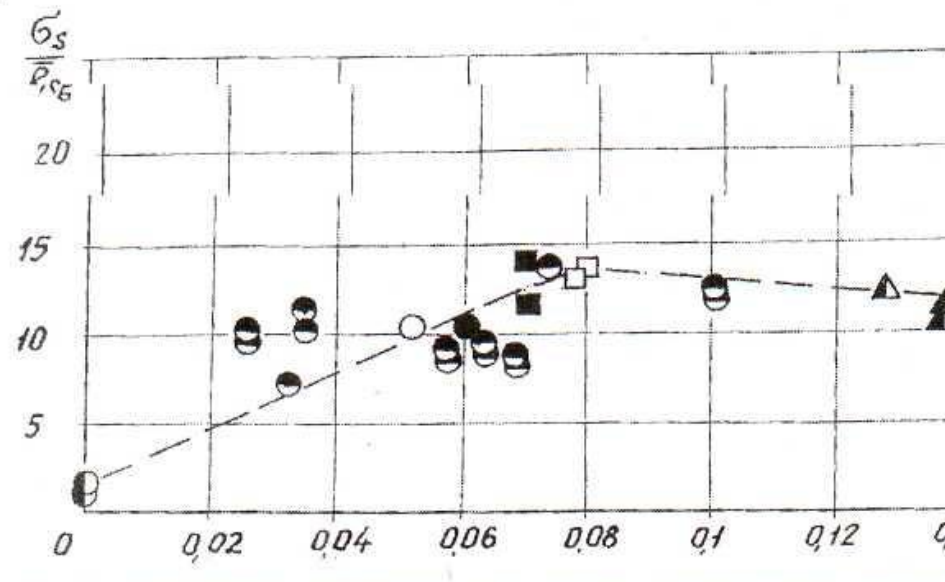
вали два образца со стержнями одинакового диаметра (по одному с каждым видом профиля). В каждой серии все образцы были забетонированы из одного замеса и испытаны по прошествии 27–28 сут после бетонирования в течение одного дня.

Испытание заключалось в вытягивании из куба, который установлен на опорной плите испытательной машины, арматурного стержня, длинный выпуск которого закреплен в нижнем захвате машины. В процессе вытягивания регистрировали смещения торца короткого выпуска стержня относительно поверхности бетонного куба.

На рис. 5 приведены результаты испытаний на вытягивание в виде графиков зависимости среднего по серии смещения торца незагруженного выпуска от растягивающего напряжения в стержне.

Нарушение сцепления и разрушение всех образцов с арматурой

периодического профиля, характеризуемое наклоном кривых, у арматуры с новым профилем было заметно выше, чем у арматуры европейского профиля, до уровня нагрузки порядка 80% от предельной и выравнивалась при дальнейшем нагружении. В сравнении с профилем по ГОСТ 5781 жесткость сцепления у



него оптимальных значений, как показали опыты на РУП БМЗ, не встречаются в производственно-технических и подтверждены в согласованный предел оптимального значения тангенциального ряда от

Изложенное позволяет заключить, что нормы стандартов на стержни с ребрами очень важно для надежной работы железобетонных конструкций. При проектировании целесообразно дифференцировать расчеты длин анкеровок в зависимости от установленного стандартом значения тангенциального ряда от

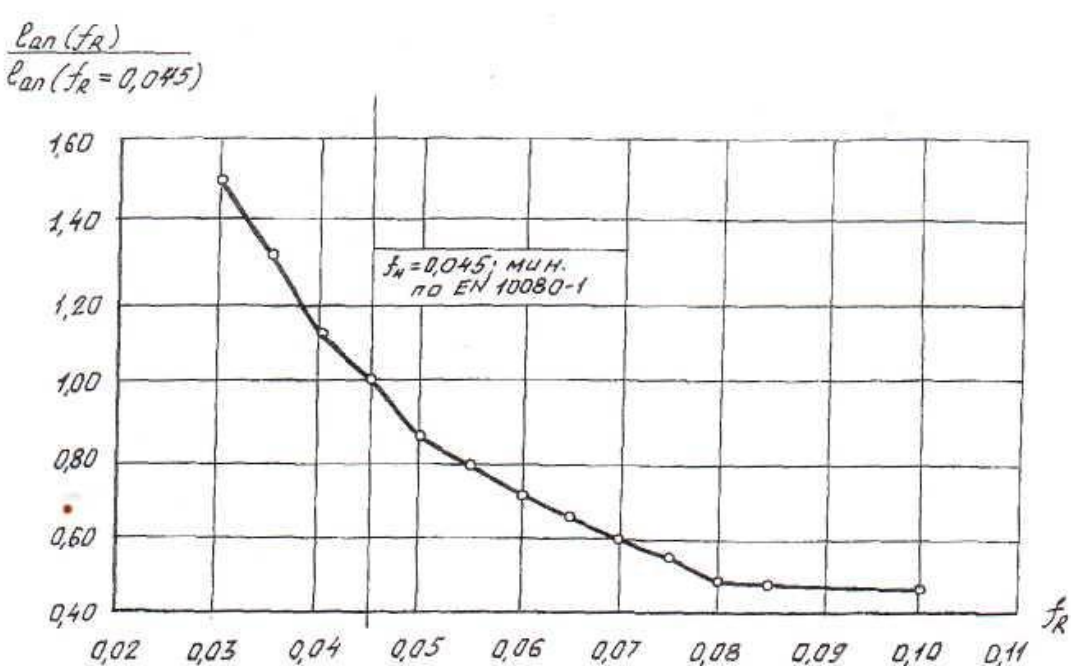


Рис. 7. Зависимость длины анкеровки от относительной площади смятия под поперечными ребрами профиля f_r .

ца для нового и европейского профилей у арматуры $\varnothing 25$ мм была на всех этапах нагружения меньше, чем у арматуры $\varnothing 16$ мм. Это можно объяснить тем, что фактическая относительная площадь смятия поперечных ребер f_r (критерий Рема) нового профиля превышала f_r европейского у стержней $\varnothing 16$ мм на 37%, а у стержней $\varnothing 25$ мм лишь на 16%.

Общеизвестно, что с увеличением f_r (в определенных пределах) прочность сцепления стержня периодического профиля с бетоном возрастает. Для профилей с отношением расстояния между ребрами в свету к их высоте $t_s/h=5-8$ (в эту группу входят практически все применяемые у нас профили горячекатаной стали) в качестве критического уровня f_r , превышение которого не приводит к улучшению сцепления, в ряде источников [1, 2] называется область значений 0,075–0,080.

На рис.6 представлена интерпретация результатов испытаний в виде зависимости относительного усилия вытягивания σ_s/R_b стержней с разными профилями от относи-

телью. К тем же выводам приходят и авторы фундаментальной работы [2], которые приводят зависимость от f_r длины зоны заанкеривания стержней l_{an} (рис.7).

Из-за конструктивных особенностей серповидного (европейского) профиля с вершинами поперечных ребер, расположенными в одной осевой плоскости арматурного стержня, обеспечение в массовом производстве стабильной большой высоты поперечных ребер, гарантирующей f_r на уровне 0,075–0,080 весьма проблематично в техническом отношении. К тому же, как уже отмечалось, увеличение высоты серповидных поперечных ребер в европейском профиле увеличивает усилия распора, снижающие эксплуатационные свойства железобетонных конструкций. Что касается нового профиля, то выполнение для

В качестве безбедности имущества европрочности называют повышенную стойкость арматурных конструкций в сравнении с арматурным профилем. Для оценки поведения арматурного профиля европейским серповидным профилем при многократном нагружении были проведены усталостные испытания прокатанных стержней диаметром 25 мм с профилем обоих типов. Испытания имели практический характер и составили основу характеристик. Исследования проводились в соответствии с нормами европейских норм EN 10080-1: $\sigma_{max} = 300 \text{ Н/мм}^2$, $\Delta\sigma = 180 \text{ Н/мм}^2$, которые также и в проект норм включены для арматуру класса 400.

Данные испытаний позволяют заключить, что прочность арматуры с новым профилем не ниже, чем у арматуры с классическим серповидным профилем.

Результаты испытаний на выносливость

Тип профиля	№ образца	Поперечные размеры образца, мм ²	Пройдено число циклов
Серповидный	1	1000	1000

отвечает требованиям как действующего СТО АСЧМ 7-93, так и проекта нового стандарта на арматуру А500С.

Выводы

1. Переход ряда металлургических предприятий на выпуск стержневой арматурной стали с профилем европейского образца (с серповидными поперечными ребрами) привел к необходимости изменения в сторону увеличения нормативных требований к длинам анкеровки и нахлестки рабочей арматуры, приблизив их к соответствующим значениям евронорм. Для конструкций без предварительного напряжения с арматурой класса А500С это увеличивает металлоемкость железобетонных конструкций, усложняет конструктивные решения элементов, требует переработки большого объема типовой проектной документации.

2. В НИИЖБе разработан новый арматурный профиль, который, по данным проведенных испытаний, обладает комплексом характеристик сцепления с бетоном, позволяющим не увеличивать проектных значений длин анкеровки и нахлестки арматурных стержней по сравнению с действующими СНиП 2.03.01-84;

обеспечивает выносливостойкость стержней, соответствующую действующему и подготавливаемому к выпуску новому стандарту на арматурную сталь А500С; имеет форму, позволяющую безошибочно визуально идентифицировать класс арматуры, что будет способствовать ускорению массового внедрения и эффективного использования преимуществ арматуры класса А500С.

3. В подготавливаемые к выпуску новые нормы проектирования целесообразно введение требований к длинам анкеровки и нахлестки арматурных стержней, дифференцированных для двух групп профилей, имеющих f_r , соответственно:

1) от 0,056 до 0,075 (профили по СТО АСЧМ 7 – 93 и ГОСТ 10884-94);

2) 0,075 и более (профиль с кольцевыми ребрами по ГОСТ 5781-82 и новый профиль с серповидными поперечными ребрами, вершины которых размещаются во взаимно перпендикулярных осевых плоскостях стержня).

4. В формуле расчетного сопротивления сцепления арматуры с бетоном

$$R_{bond} = \eta \cdot R_{bt},$$

где η - коэффициент, зависящий от вида профиля, расчетное сопротивление бетону; предлагается принять значения коэффициента η :

2,25 - для арматуры с первой группы, что соответствует нормам;

3,0 - для арматуры с второй группы.

В этом случае расчетные длины анкеровки и нахлестки арматуры с новым профилем будут находиться на уровне требований СНиП 2.03.01-84.

5. Учитывая выявленные недостатки профиля А500С и профиля по ГОСТ 5781 с кольцевыми ребрами, его применение в строительстве ограничено масштабами, в которых можно использовать только для предварительно напряженной горячекатаной арматуры с расчетным сопротивлением не более 400 МПа.

Библиографический список

1. Мадатян С.А. Арматурные профили для железобетонных конструкций. М.: Стройиздат, 2000.

2. Mayer, U. (2002), Zur Untersuchung der Oberflächengestalt von Rippenprofilen auf das Trag- und Verformungsverhalten von Stahlbetonbauteilen, Dissertation, Institut für Werkstoffe im Bauwesen, IWB – Mitteilungen

В ПОМОЩЬ ПРОЕКТИРОВЩИКУ

Б.Ф. ТУРУКАЛОВ, канд. техн. наук; Б. ТАИНГ, инж. (ГОУВПО "Кубанский государственный технологический университет")

К вопросу о расчете стержневых железобетонных элементов с учетом полных диаграмм деформирования материалов

С 2002 г. в проекте норм проектирования бетонных и железобетон-

ходимо сказать о некоторых особенностях, которые должны быть при-

параметрические точки, которые делят диаграмму на несущую

привязывают к диаграмме “ $\sigma_b - \varepsilon_b$ ” с помощью зависимости [4] для тяжёлого бетона. На восходящей ветви деформирования сжатого бетона присутствуют две точки, которые оценивают нижний и верхний пределы образования трещин (R_T^o, R_T^v). Для бетонов класса В15–В30 вводится ещё одна промежуточная точка R_T^k между значениями R_T^v и R_b . Опорная точка на нисходящей ветви получена из условия $\sigma_{bi}=0,8R_b$, а ε_{bi} – по предложению, изложенному в [5].

Для тяжёлого бетона естественного твердения координаты опорных параметрических точек диаграммы деформирования сжатого бетона при кратковременном нагружении вычисляют по следующим формулам:

$$R_T^o = 0,0036 R_b^2 + 0,324 R_b - 1,38; \\ \varepsilon_T^o = (1,133 R_b - 1,60) 10^{-5} \quad (1)$$

$$R_T^v = 0,0031 R_b^2 + 0,690 R_b - 1,65; \\ \varepsilon_T^v = (1,874 R_b + 20,4) 10^{-5} \quad (2)$$

$$R_T^k = 0,0030 R_b^2 + 0,888 R_b - 1,01; \\ \varepsilon_T^k = (2,250 R_b + 52,3) 10^{-5} \quad (3)$$

$$R_b = R_b; \quad \varepsilon_{bR} = (R_b + 110) 10^{-5} \quad (4)$$

$$\sigma_{bi} = 0,8R_b; \quad \varepsilon_{bi} = (4,6 - 0,02R_b) 10^{-3} \quad (5)$$

Предлагаемые зависимости, описывающие диаграмму деформирования сжатого бетона, имеют хорошие перспективы для их трансформирования при описании более сложных режимов нагружения сжатого бетона.

При нормировании опорных точек диаграммы деформирования арматуры необходимо исходить из особенностей ее механических характеристик. В частности, диаграм-

териала. Сюда относятся коэффициент S , входящий в формулу по вычислению прогиба или выгиба элементов; учет выгиба внецентренно сжатого железобетонного элемента на каждой ступени нагружения, а не ориентация на состояние элемента в момент потери устойчивости.

И последнее, это более сложная процедура расчета нормальных сечений стержневых железобетонных элементов, которая практически не выполнима “вручную”. Это требует разработки специальных прикладных программ, которые должны быть тщательно протестированы и сертифицированы для их широкого использования в практике проектирования железобетонных конструкций.

Теперь остановимся на основных положениях расчета нормальных сечений и результатах наших исследований. Методика расчёта элементов заключается в решении системы алгебраических уравнений равновесия суммы продольных сил и изгибающих моментов при введённых в неё аналитических зависимостях “ $\sigma - \varepsilon$ ” сжатого бетона и арматурной стали, а также взаимосвязи их деформаций, выраженной гипотезой плоских сечений с помощью коэффициентов ψ_s, ψ_b, ϕ при наличии поперечной трещины. В основу предлагаемой методики расчёта положен деформационный подход, когда вначале задают некоторую деформацию ε_b наиболее сжатого волокна бетона, оценивают напряжённо-деформированное состояние сечения и блока в целом (определяют x_b, σ_s, σ_s' и другие параметры), а затем вычисляют, в зависимости от вида напряжённого состояния, M или N . При расчёте внецентренно сжатых элементов координата приложения продольной силы изменяется в результате появления выгиба элемента.

В методике разработана процедура учета выгиба элемента, осно-

лезобетонных, что расчет по методике довольно легчения разра- ных программ.

Для оценки раммы дефор- бетона и арма- каждого образ- использования диаграмм (рас- зованием кри- ложениям Н.И. 2). Теоретичес- ны при вычисле- Ψ_s по схемам

$$A - \Psi_s = 1,25 \\ \text{мula } 167 \text{ C}$$

$$B - \Psi_s = 1 - 0,5 \\ C - \Psi_s = 1 - 0,5$$

При опреде- та ψ_s по случа- сительно котор- ющий момент, щей на геомет- дённого сече- на его нейтра- МНО). Таким об- центрально сжа- стойку рассчи- баемую балку

Остановим исследования вости и дефор- мых железобе- центрально сжа- случае проана- образцов. Экспе- ные С.С. Ватаги- ва, Е.А. Чистяко- турных источни- интерес пред- центрально сжа- элементов, на- внимание.

Анализ по

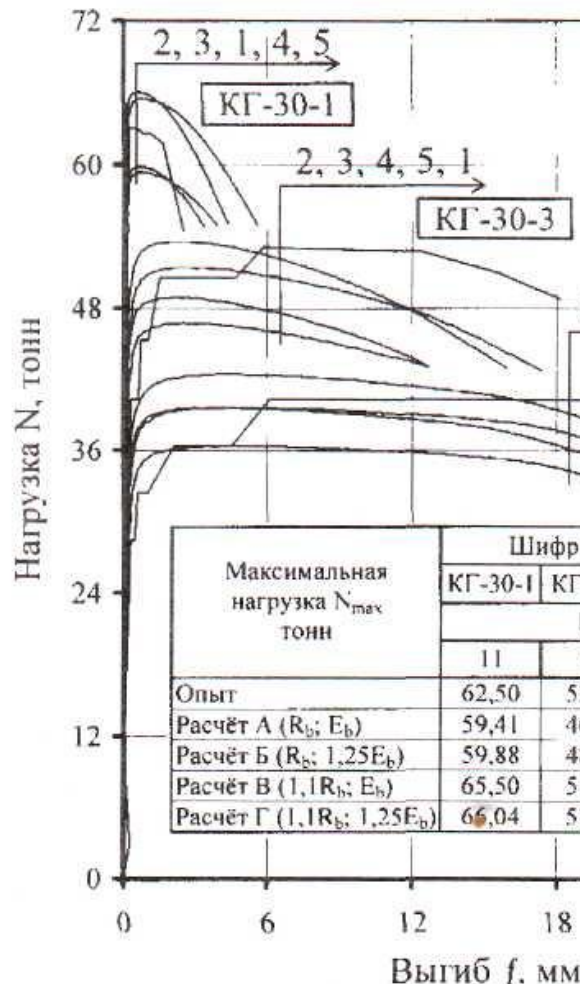
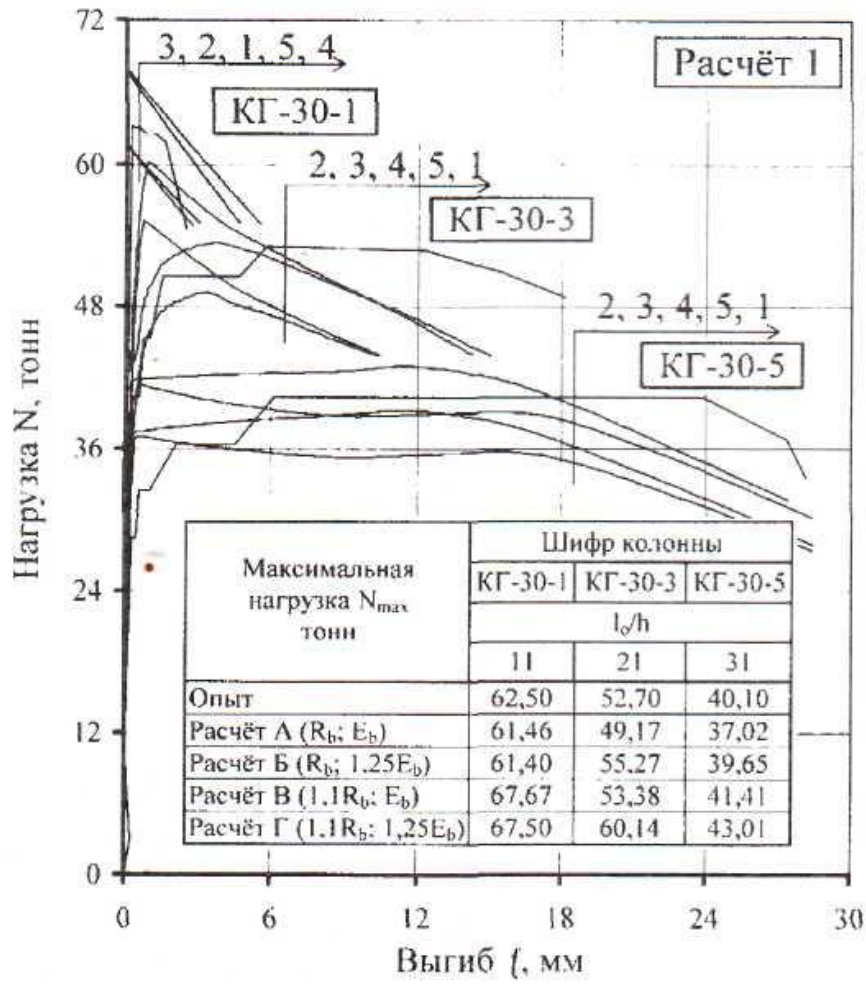


Рис. 1. Диаграммы "нагрузка-изгиб" в зависимости от E_b , R_b колонн серии КГ-30-1,3,5 ($\mu_{st} = 0,09\%$; $e_o = 0,01$).
1 — опыт; 2 — расчет А; 3 — расчет Б; 4 — расчет В; 5 — расчет Г

5,40 и 10,63 % - при использовании криволинейных диаграмм. Практически во всех случаях расчёт 2 даёт меньшие значения разрушающей нагрузки железобетонных стоек, чем расчёт 1.

Установлено, что во внешнецентрически сжатых с малым эксцентриситетом коротких железобетонных элементах основным фактором, влияющим на несущую способность, является призменная прочность бетона (рис. 1). Вид диаграммы деформирования сжатого бетона (наклон восходящего участка) оказывает влияние на величину разрушающей нагрузки внешнецентрически сжатых с малым эксцентриситетом элементов

грузки железобетонных стоек. В большинстве случаев наблюдается удовлетворительное совпадение опытных зависимостей " $N-f_c$ " центрально сжатых железобетонных образцов с расчетными при стандартных диаграммах деформирования сжатого бетона.

Напряжённо-деформированное состояние внешнецентрически сжатых с большим эксцентриситетом стоек, испытанных при кратковременном действии нагрузки, проанализировано на 99 образцах.

При расчёте с использованием кусочно-линейных зависимостей деформирования материалов более точное совпадение с опытными дан-

ные значения разрушающей нагрузки колонн оказываются % меньше расчетных. Квадратичное отклонение около 14 %. В расчётах МГО и расчёт 1-МГО получены одинаковые средние значения 99 образцами с использованием криволинейных диаграмм деформирования по предложению 2-МГО-А, что подтверждает, что наихудшие расчёты 2-МНО-В, в то время как наихудшие — расчёты 2-МНО-С, в которых значение разрушающей

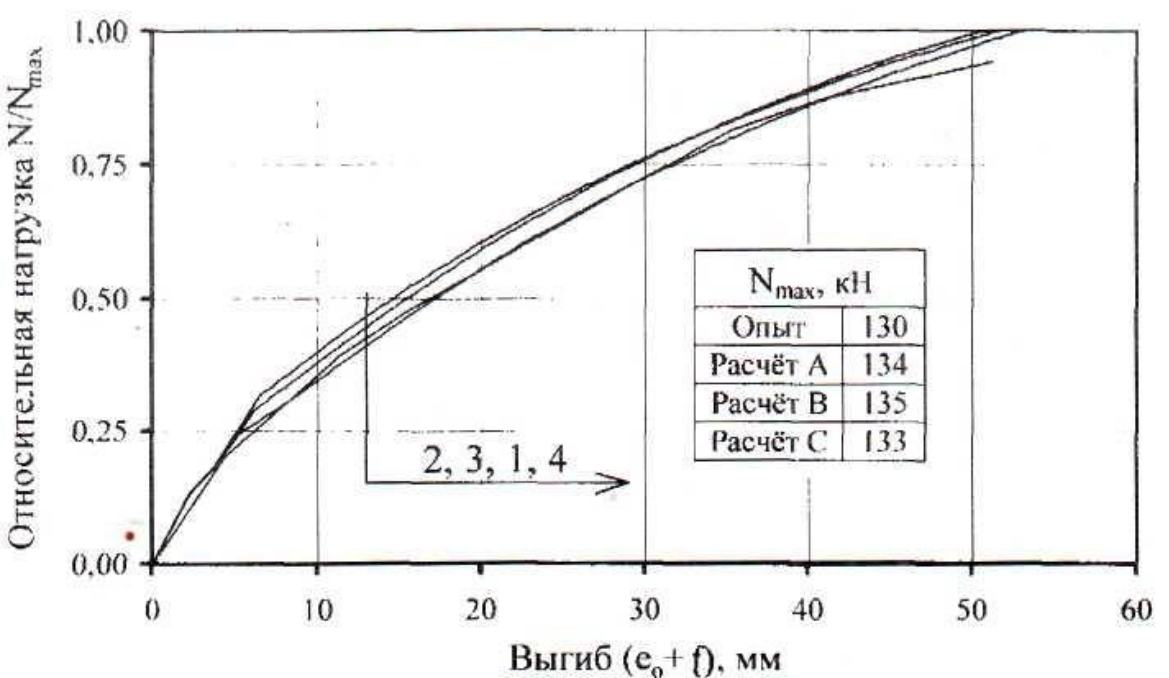
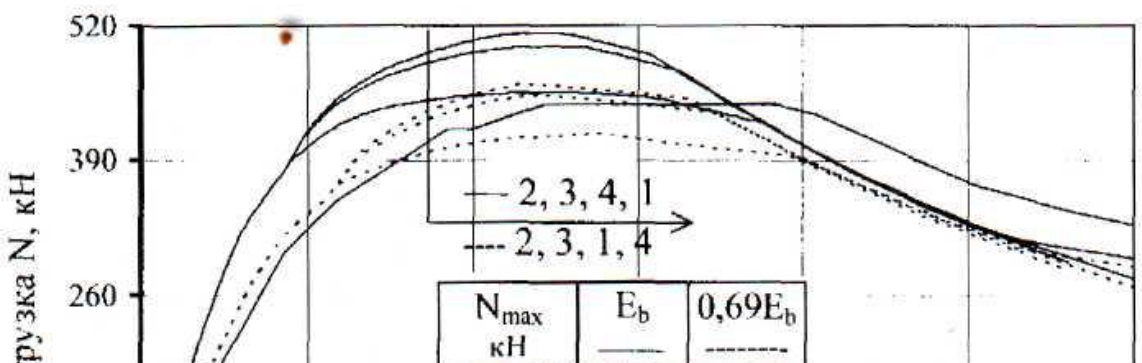


Рис. 2. Диаграммы "относительная нагрузка-выгиб" в зависимости от Ψ_s колонны КГ-11-4 ($\mu_{st} = \mu_{sc} = 1,56\%$; $R_b = 12,4$ МПа; $e_o/h = 0,77$; $I_o/h = 31$) по расчету 1-МГО
1 — опыт; 2 — расчет А; 3 — расчет В; 4 — расчет С

Это, на наш взгляд, объясняется особенностями развития нормальной трещины, в частности остановкой ее роста, изменение направления на 90° , что отмечено во многих исследованиях при испытании таких элементов. С увеличениями длины элемента и его гибкости несоответствие уменьшается до 7,5–10 % для расчёта 1 и 12–15 % – для расчёта 2.

Во внецентренно сжатых с большим эксцентрикитетом элементах с

гибкостью более 20 вид диаграммы (наклон восходящего участка), а также призменная прочность бетона влияют на величину разрушающей нагрузки в пределах 6–15 %. В образцах из бетона малой и средней прочности наблюдается практически полное совпадение опытных и расчетных зависимостей "нагрузка-выгиб" (рис. 2). Расчёт прочности, устойчивости и деформативности внецентренно сжатых с большим эксцентрикитетом железобетонных



элементов, выполненных с призменной промежуткой 12,4 МПа и имеющими температуру в количестве 31, необходимо проводить в опорных точках на 45 % (рис. 3).

Проанализировав 14 жёно-деформационных серий коротко-сжатых железобетонных колонн, каждая серия имеет своего близнеца. Тесты на разрушение проводили по шести схемам с кусочно-линейной волинейной (расчетные деформации в трёх вариантах коэффициента ψ_s (рассмотрены все случаи исключения МГО). Получено практическое совпадение опытных и расчетных восьми схем разрушения нагружаемых колонн по различным схемам, в которых находится в пределах 5,54–5,99 %.

Расчеты показывают, что коэффициент S, входящий в вычислению вынужденных сжатого элемента, в начальном состоянии изменяется при расчете центрально сжатых и до 0,113 – для внецентренно сжатых с большим эксцентрикитетом элементов.

Выводы

1. Разработана методика, позволяющая проводить расчеты прочности, устойчивости и деформативности колонн, внецентренно сжатых с большим эксцентрикитетом, зорением поправки на температуру в количестве 31.

дольной силы N и параметра S , с точностью 0,1–0,5 %. Разработанный пакет прикладных программ позволяет оперативно и с большой точностью обрабатывать экспериментальные данные.

2. Установлено, что в качестве опорных точек диаграммы деформирования сжатого тяжелого бетона можно принять параметрические точки, выявленные О.Я.Бергом. Эту диаграмму следует рассматривать как стандартную. Вместе с тем опорные параметрические точки диаграммы деформирования сжатого бетона не являются стационарными.

3. Расчёт изгибаемых, а также внецентренно сжатых с большим эксцентрикитетом железобетонных элементов необходимо проводить

по схеме, в которой коэффициент Ψ_s вычисляют по формуле проекта норм $\Psi_s = 1 - 0,8M_{crc}/M$. При этом для внецентренно сжатых с большим эксцентрикитетом железобетонных элементов точка, относительно которой определяется изгибающий момент, должна лежать на геометрической оси приведённого сечения.

Библиографический список

1. Звездов А.И., Залесов А.С., Мухамедиев Т.А., Чистяков Е.А. Расчёт прочности железобетонных конструкций при действии изгибающих моментов и продольных сил по новым нормативным документам // Бетон и железобетон. – 2002. – № 2. – с. 21–26.
2. Залесов А.С., Мухамедиев Т.А.,

Чистяков Е.А. Расчет и проектирование железобетонных конструкций по новым нормативным документам // Бетон и железобетон. – 2002. – № 2.

3. Залесов А.С., Чистяков Е.А. Расчёт и проектирование железобетонных конструкций по новым нормативным документам // Бетон и железобетон. – 2002. – № 2.

4. Берг О.Я., Щеглов Г.Н. Высокопрочная сталь. – М.: Стройиздат, 1971. – 208 с.

5. Ильин О.Ф., Щеглов Г.Н. Построение обобщенных схем для расчета прочности нормализованных и балочных железобетонных конструкций с учетом особенностей бетонов // Прочность и долговечность железобетонных конструкций. – М., 1979. – 128 с.

6. Карпенко Н.И. Справочник по расчету конструкций железобетона. – М.: Стройиздат, 1996. – 412 с.

А.ИВАНОВ, канд. техн. наук (НИИЖБ)

Особенности расчета колонн многоэтажных монолитных зданий с учетом продольного изгиба

Расчет колонн с учетом влияния продольного изгиба производится либо по деформированной схеме – в составе конструктивной системы, либо упрощенным способом, выделяя колонну из системы и рассчитывая ее на усилия, найденные из расчета системы по недеформированной схеме.

При расчете по деформированной схеме и учете влияния прогибов колонны от действия продольной силы на полный момент в любом сечении колонны производится расчет всей конструктивной системы в целом для определения граничных условий по концам колонны.

Рассмотрим деформированное состояние колонны, являющейся элементом рамной конструкции. В монолитной системе концы колонны жестко соединены с

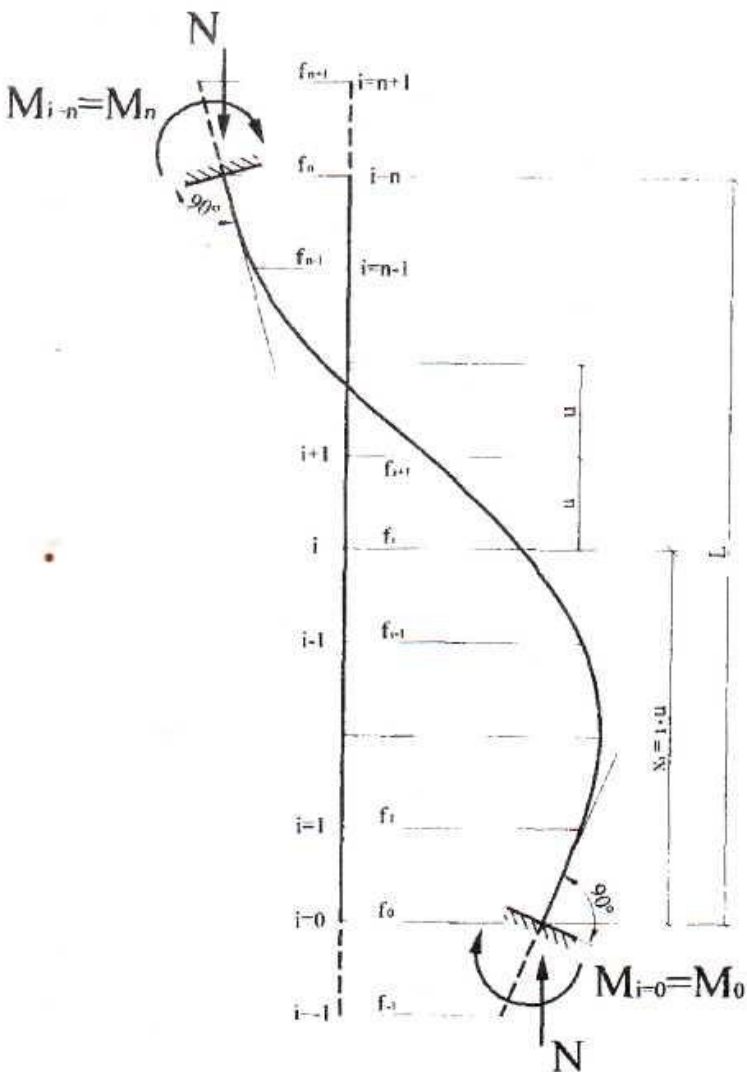
внешними опорами, а в сечении колонны, находящемся между этажами, имеющим длину l , в результате действия продольной силы колонна имеет изгиб, определяемый кривизной f_i .

Описание изогнутой оси для i -го участка колонны исходя из уравнения

$$D_i f_i'' = M_i,$$

где D_i – жесткость i -го участка; M_i – изгибающий момент в сечении колонны, определяемый по методу сечений по формуле

$$\int f_i^2 dx = f_i^2 l.$$



Расчетная схема стержня

$$M_i = M_o \cdot \frac{1-x_i}{l} + M_n \cdot \frac{x_i}{l} - N \cdot f_i + \\ + N \cdot f_o \cdot \frac{1-x_i}{l} + N \cdot f_n \frac{x_i}{l}; \quad (3)$$

где M_o - момент в нижней заделке ($i = 0$); M_n - момент в верхней заделке ($i = n$); l - длина стержня; x_i - расстояние от нижней опоры до рассматриваемого участка, $x_i = u \cdot i$; N - продольная сила; f_o - смещение нижней опоры ($i = 0$); f_n - смещение верхней опоры ($i = n$).

Подставив (2) и (3) в (1), получим

$$\frac{f_{i-1}}{u^2} + \left(\frac{N}{D_i} - \frac{2}{u^2} \right) f_i + \frac{f_{i+1}}{u^2} - M_o \frac{1-x_i}{l \cdot D_i} - \\ - M_n \frac{x_i}{l \cdot D_i} = \frac{N}{l \cdot D_i} = \frac{N}{l \cdot D_i} [f_o(l-x_i) + f_n x_i] \quad (4)$$

при $n = 1, 2, 3 \dots n-1$.

Участки изогнутой оси, примыкающие к опорам с заделками (от $i=0$ до $i=2$ и от $i=n-2$ до $i=n$),

Смещение опор задается величинами повороты заделок разностями

$$f_{-1}-f_o \quad \text{и} \quad f_n-f_{n+1}.$$

Для определения прогибов на каждой опорной моментов M_o и M_n решают систему линейных уравнений (4).

Определение прогибов и моментов методом последовательных приближений принимают жесткость на всех участках тела, и определяют все прогибы. По известной продольной силе для каждого сечения определяют моменты по (3), а затем с и

деформационной модели (или по зависимости) определяют жесткость D_i как частную момента на кривизну. С учетом этих же зависимостей (постоянных по длине стержня) вновь решают систему линейных уравнений и находят новые значения прогибов. Это повторяется до тех пор, пока искомые прогибы не будут отличаться более чем на заданную величину.

Более простое, но и более приближенное, решение может быть получено, рассматривая стержень как колонну, выделенную из системы, на действующие на концах, полученным из расчета по недеформированной схеме. В этом случае влияние продольной силы на изгибающий момент в колонне пренебрегают, введением к начальному эксцентричеситету силы (или к начальному моменту) коэффициента η дельного изгиба, а условия опирания колонны в узлах системы принятием соответствующего значения расчетной длины колонны и коэффициента расчетной длины, приводят расчетную схему колонны к стержню с шарнирными опорами.

Значение коэффициента η при различных расчетах по недеформированной схеме определяется по формуле

$$\eta = \frac{1}{1 - \frac{N}{N_{cr}}},$$

где N - продольная сила от внешней нагрузки; N_{cr} - критическая сила, определяемая по формуле

$$N_{cr} = \frac{\pi^2 \cdot D}{l_o^2},$$

где D - жесткость железобетонного элемента, определяемая по формуле

$$D = 0,1 \cdot \frac{E_b I}{\varphi_l \cdot \delta_e} + E_s \cdot I_s,$$

Здесь I, I_s - моменты инерции соответственно

M_1, M_{11} - изгибающие моменты внешних сил относительно центра тяжести сечения растянутой (или наименее сжатой) арматуры соответственно от действия полной нагрузки и от действия постоянных и длительных нагрузок; $\delta_e = \frac{e_o}{h}$, но не менее 0,3; l_o - расчетная длина элемента.

Расчет по прочности (с учетом продольного изгиба) прямоугольных сечений внецентренно сжатых элементов с арматурой, расположенной у противоположных в плоскости изгиба сторон сечения, при эксцентриситете продольной силы $e_o \leq \frac{h}{30}$ и гибкости $\frac{l_o}{h} \leq 20$

можно производить из условия

$$N \leq N_{ult}, \quad (9)$$

где N_{ult} - предельное значение продольной силы, которую может воспринять элемент, определяемое по формуле

$$N_{ult} = \varphi \cdot (R_b \cdot A + R_{sc} \cdot A_{s,tot}) \quad (10)$$

Здесь A - площадь бетонного сечения; $A_{s,tot}$ - площадь всей продольной арматуры в сечении элемента; φ - коэффициент, принимаемый по таблице в зависимости от гибкости элемента

Расчетную длину l_o внецентренно сжатого элемента определяют, как для элементов рамной конструкции

l_o/h	6–12	16	20
φ	0,9	0,8	0,7

ции, с учетом ее деформированного состояния при наиболее невыгодном для данного элемента расположении нагрузки, принимая во внимание неупругие деформации материалов и наличие трещин.

Представляют интерес рекомендуемые международными нормами Еврокода 2* различные упрощенные методы для расчета колонн. Одним из них является метод расчета, основанный на использовании коэффициента продольного изгиба.

Изгибающий момент с учетом прогиба M_{Ed} определяется по формуле

$$M_{Ed} = M_O \cdot \left(1 + \frac{\beta}{\frac{N_B}{N_{Ed}} - 1} \right), \quad (11)$$

где M_O - начальный момент, найденный по недеформированной схеме; N_B - критическая сила, определяемая по формуле Эйлера; N_{Ed} - расчетная продольная сила; β - коэффициент, учитывающий распределение начальных моментов по длине

$\frac{\pi^2}{8}$ - при равномерном распределении

моментов по длине колонны;

$\frac{\pi^2}{10}$ - при распределении по параболе;

$\frac{\pi^2}{12}$ - при распределении по треугольни-

мумом в середине длины колонны.

Допускается принимать $\beta = 1$.

Формулу (11) можно представить в виде

$$N_{Ed}(e_o + f) = N_{Ed} \cdot e_o \cdot \eta,$$

где f - прогиб; e_o - начальный эксцентриситет, ра-

$$\eta = \frac{1}{1 - \frac{N_{Ed}}{N_B}}.$$

Следовательно, учет влияния прогиба f изложенного ранее. Различие состоит лишь в том, что в формуле (11) критическая сила N_B (в формуле (10) обозначена N_{cr}).

Другим рекомендуемым способом является способ, основанный на использовании кривизны.

Расчетный момент определяется по фор-

$$M_{Ed} = M_O + M_2 = M_O + N_{Ed} \cdot f,$$

где прогиб f определяется через кривизну $\frac{1}{r}$ по

$$f = \frac{1}{r} \cdot \frac{l_o^2}{C}.$$

Для колонн с постоянным сечением по длине коэффициент C , учитывающий распределение кривизны по длине колонны, равен 10, а кривизна определяется по формуле

$$\frac{1}{r} = k_r \cdot \frac{1}{r_o},$$

где

$$k_r = \frac{n_k - n}{n_k - n_{bo}} \leq 1;$$

$$\frac{1}{r_o} = \frac{\varepsilon_{yd}}{0,45d}; \quad \varepsilon_{yd} = \frac{f_{yd}}{E_s};$$

$$n = \frac{N_{Ed}}{A_s \cdot f_{yd}}, \quad n_{bo} = 1,$$

Расчетную длину колонн для любого метода определяют в зависимости от того, находится ли она в смещаемой или несмешаемой системе (т.е. могут ли концы колонны смещаться относительно друг друга по горизонтали), по формулам:

в несмешаемой системе

$$l_o = 0,5l \sqrt{\left(1 + \frac{k_1}{0,45 + k_1}\right) \cdot \left(1 + \frac{k_2}{0,45 + k_2}\right)}, \quad (16)$$

в смещаемой системе

$$l_o^* = l \sqrt{1 + 10 \cdot \frac{k_1 \cdot k_2}{k_1 + k_2}}, \quad (17)$$

$$l_o = l \left(1 + \frac{k_1}{1 + k_1}\right) \left(1 + \frac{k_2}{1 + k_2}\right).$$

Принимается большее значение l_o (17) и (18).

В этих формулах коэффициенты k_1 и k_2 определяют относительную податливость верхней и нижней частей колонны к повороту и принимаются равными

$$k_1(k_2) = \frac{\theta}{M} \cdot \frac{EJ}{l},$$

где θ - угол поворота соответствующей опоры; M - изгибающая способность, которая должна учитываться при расчете на трещинообразование, если расчет в прямом порядке не показывает, что трещин нет; l - длина колонны.

ИНФОРМАЦИЯ

II-я ВСЕРОССИЙСКАЯ КОНФЕРЕНЦИЯ ПО БЕТОНУ И ЖЕЛЕЗОБЕТОНУ

Российское научно-техническое общество строителей, Госстрой России, Ассоциация «Железобетон» и другие организации приглашают Вас на II Всероссийскую конференцию по проблемам бетона и железобетона, которая состоится 6-9 сентября 2005 г. в Москве, совместно с 15 Ассамблеей RILEM.

Железобетон сегодня доминирует в строительстве. В России его производством и применением занимаются более трех тысяч предприятий, сотни проектных институтов, испытательных лабораторий, десятки кафедр, два специализированных НИИ. Это более одного миллиона специалистов.

Для расширения связей и сопоставления российского и мирового опыта в качестве пленарных докладчиков на предстоящую конференцию приглашены ведущие российские ученые и специалисты, а также руководители крупнейших международных отраслевых организаций: Международного союза лабораторий по испытанию материалов и конструкций - RILEM, Международной федерации по железобетону FIB и др.

Помимо проведения пленарных заседаний, на конференции будет организована работа различных секций и состоятся практические семинары, слушателям

на II Всероссийской конференции удастся не только обменяться опытом, но и установить новые контакты. Для этих целей предусмотрены различные мероприятия: официальная церемония открытия конференции, торжественный банкет, выставки, экскурсии, посещение музеев и многое другое.

Мы надеемся, что в работе II Всероссийской конференции примет участие широкий круг профессиональных лиц, прежде всего профессионалов строительной отрасли.

ТЕМАТИКА КОНФЕРЕНЦИИ

- Проектирование составов бетонов и цементных материалов
- Качество бетонных конструкций
- Новые вяжущие и добавки для бетонов
- Золы, шлаки и рециклированные материалы в технологии бетона
- Легкие и ячеистые бетоны
- Специальные бетоны и композитные материалы
- Товарный бетон в строительстве: производство, транспортировка, хранение, качество
- Вопросы технологии бетонирования